

Annexe 1b. Synthèse des données de suivis des colonies

Macareux Moine

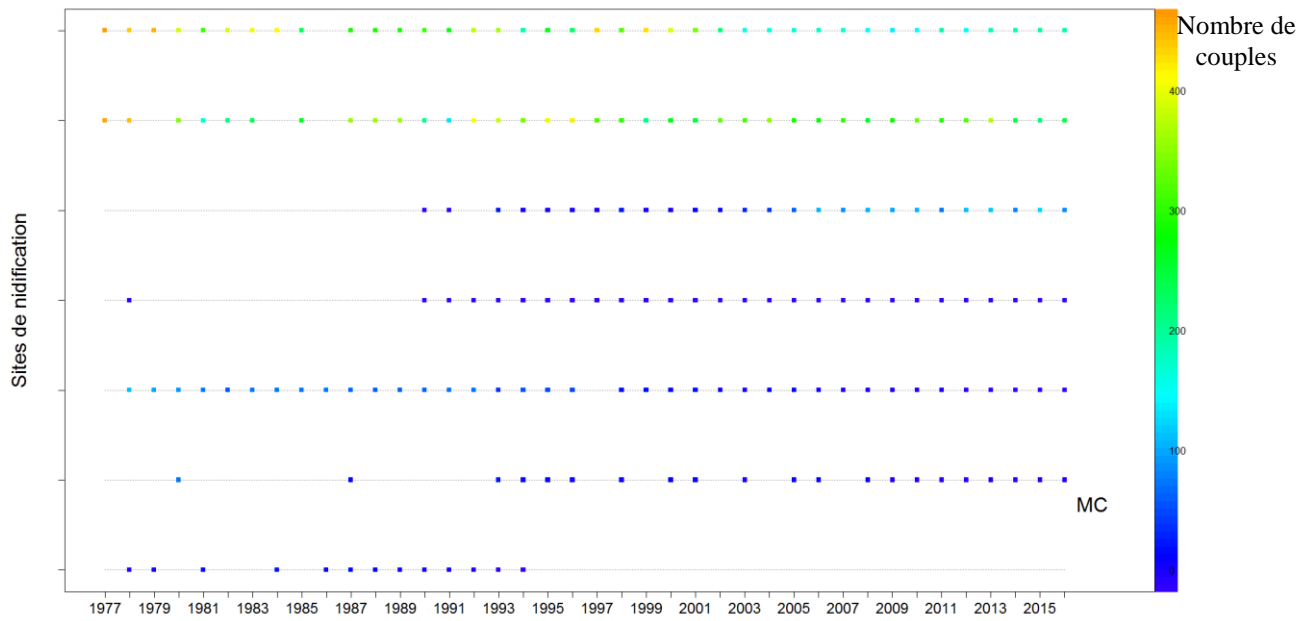


Figure 1. 1 : Représentation graphique des séries de comptage du Macareux Moine obtenues après reconstitution des valeurs manquantes

MC : Mer Celtique

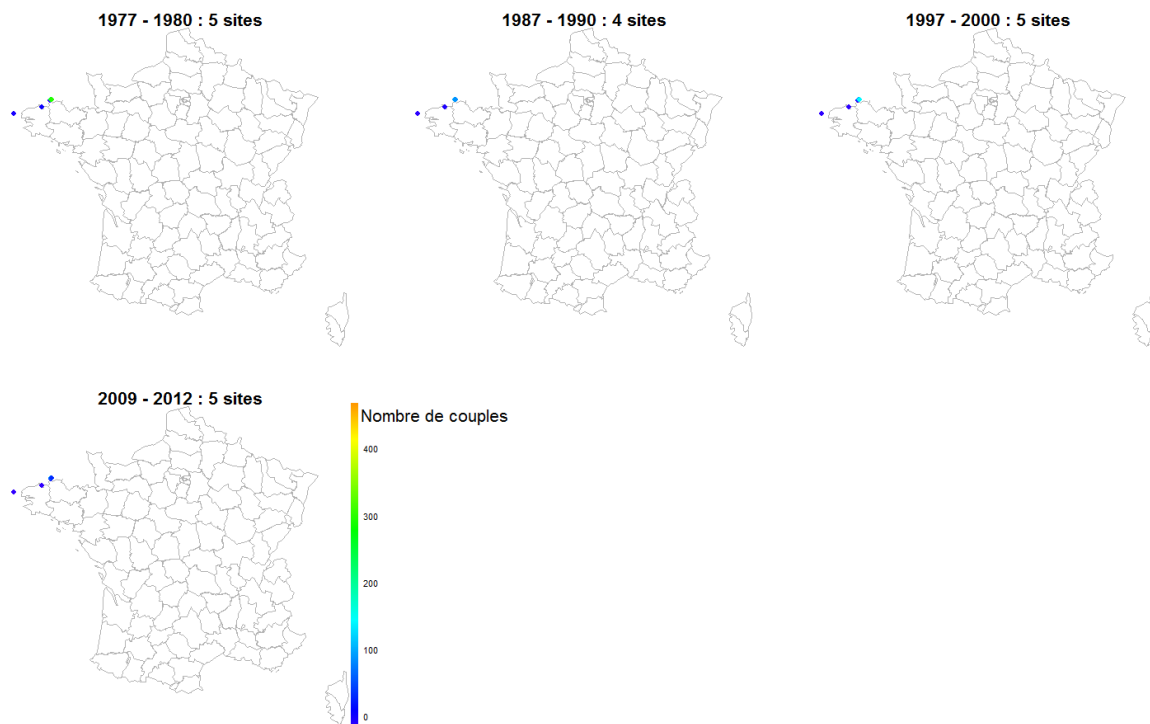


Figure 1. 2 : Répartition du Macareux Moine selon les données des recensements décennaux

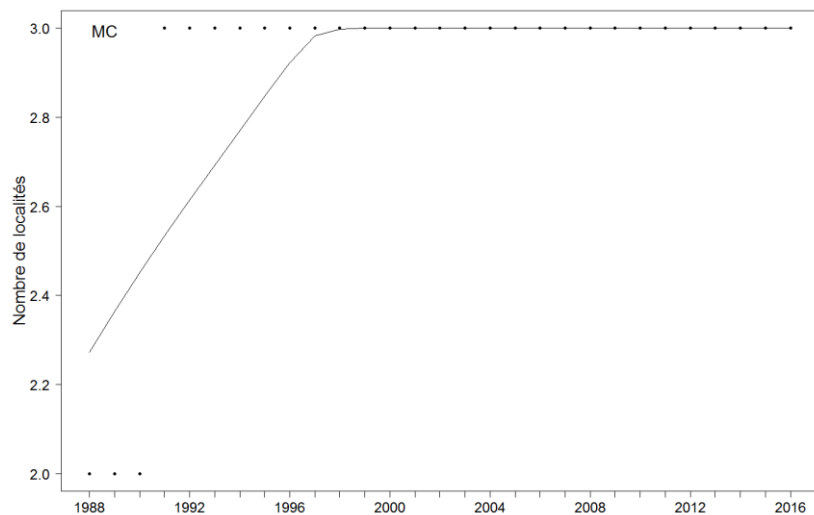


Figure 1. 3 : Évolution du nombre total de localités connues pour le Macareux Moine au cours du temps

MC : Mer Celtique

Guillemot de Troil

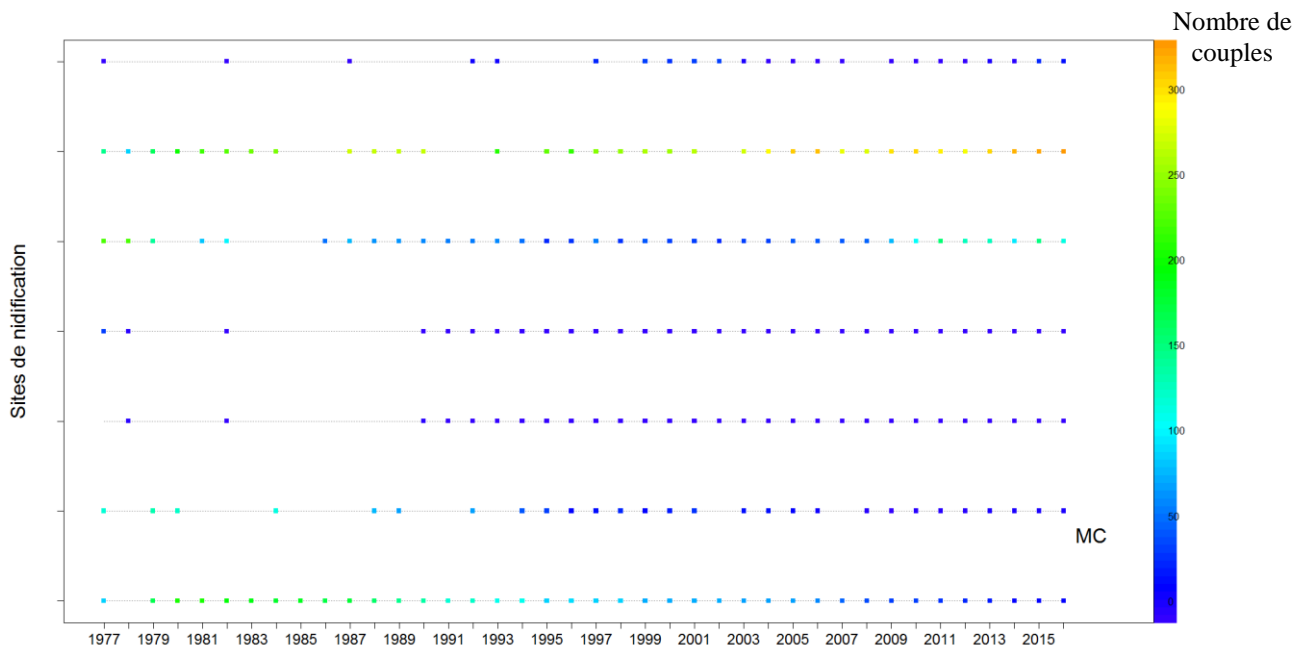


Figure 1.4 : Représentation graphique des séries de comptage du Guillemot de Troil obtenues après reconstitution des valeurs manquantes

MC : Mer Celtique

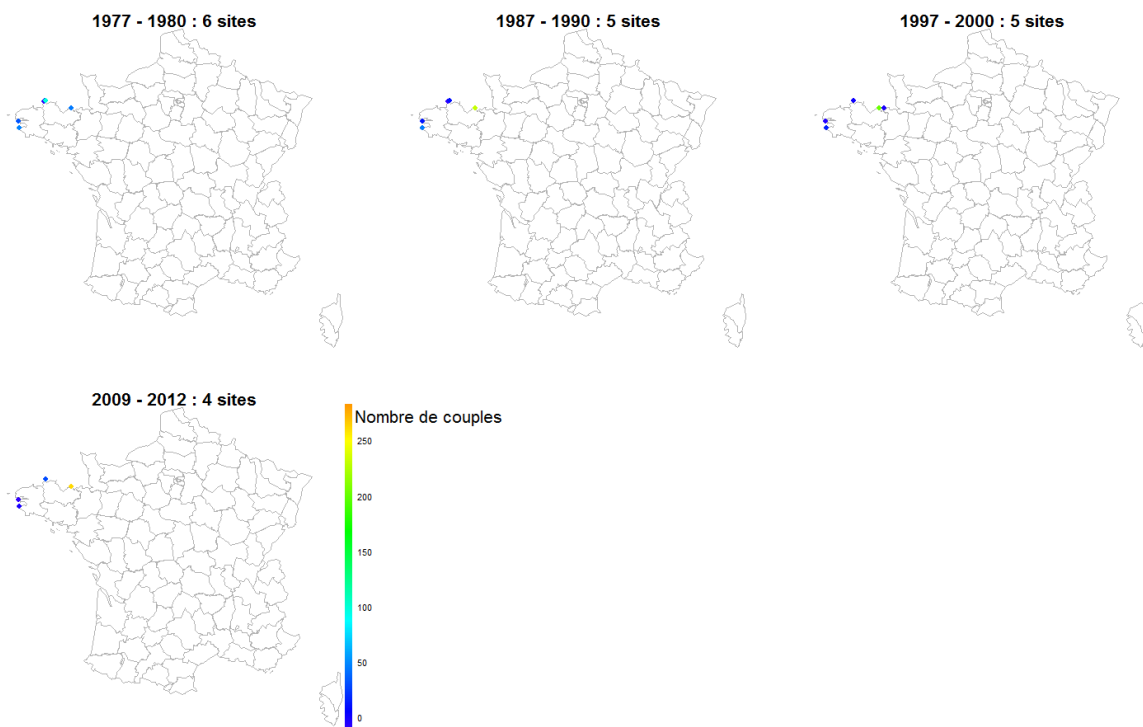


Figure 1.5 : Répartition du Guillemot de Troil selon les données des recensements décennaux

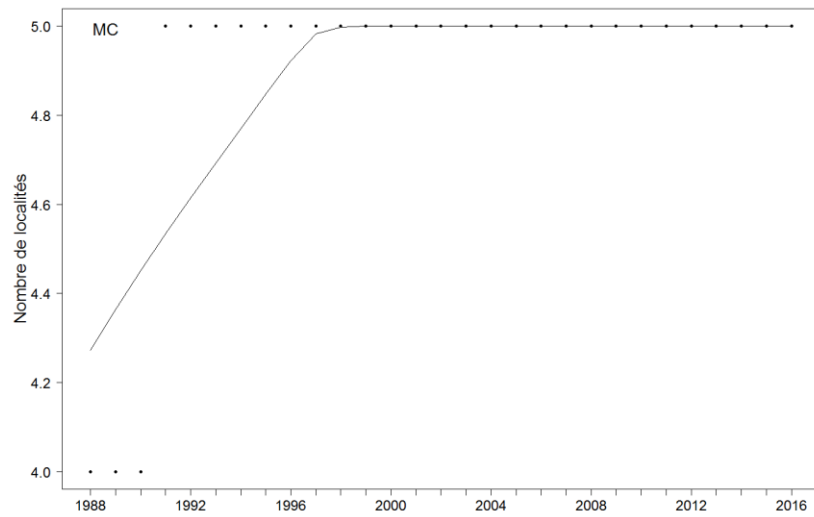


Figure 1. 6 : Évolution du nombre total de localités connues pour le Macareux Moine au cours du temps

MC : Mer Celtique

Goéland brun

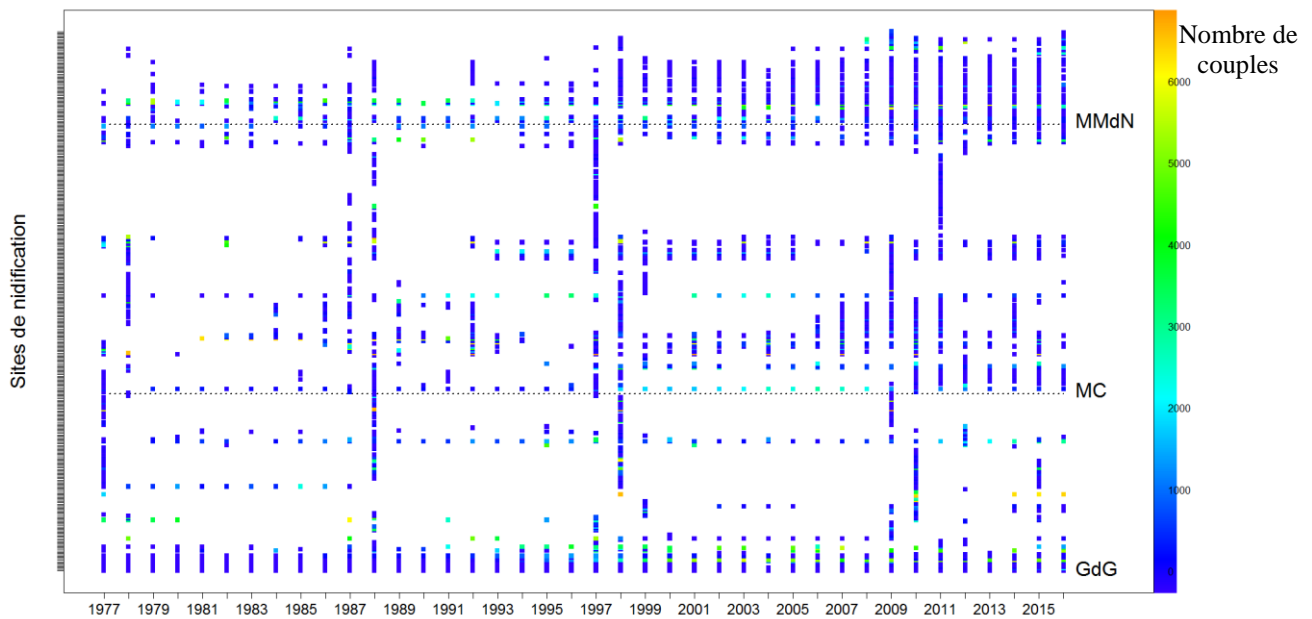


Figure 1. 7 : Représentation graphique des séries de comptage du Goéland brun obtenues après reconstitution des valeurs manquantes

GdG : Golf de Gascogne ; MC : Mer Celtique ; MMdN : Manche – Mer du Nord

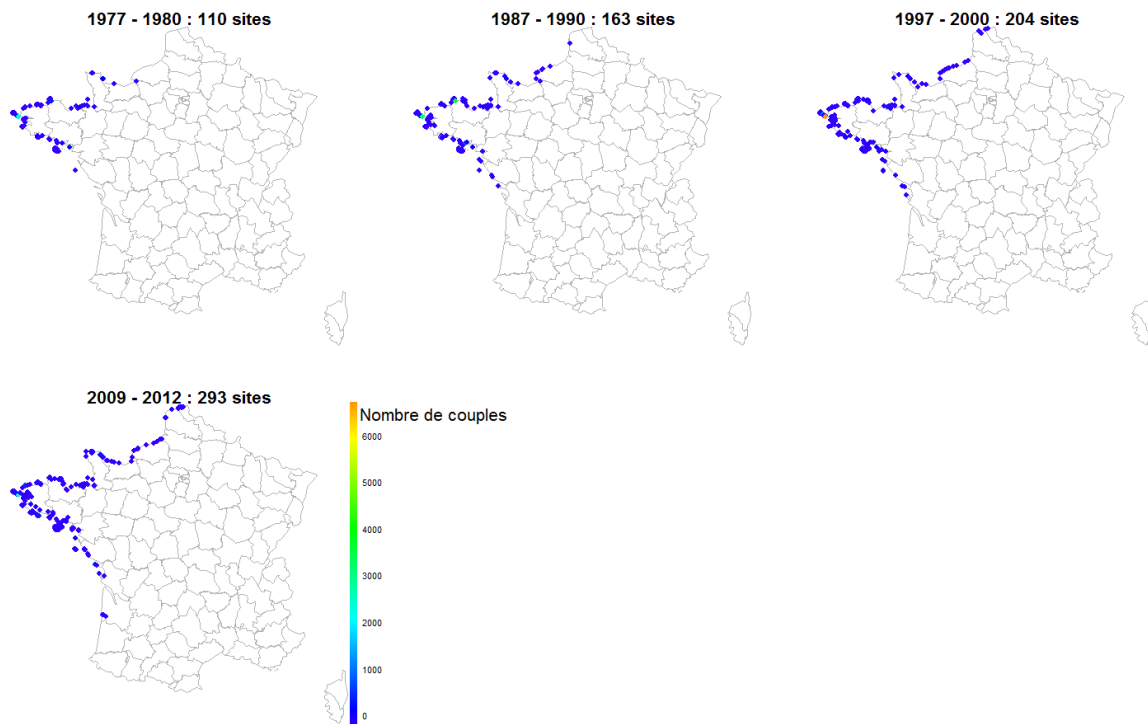


Figure 1. 8 : Répartition du Goéland brun selon les données des recensements décennaux

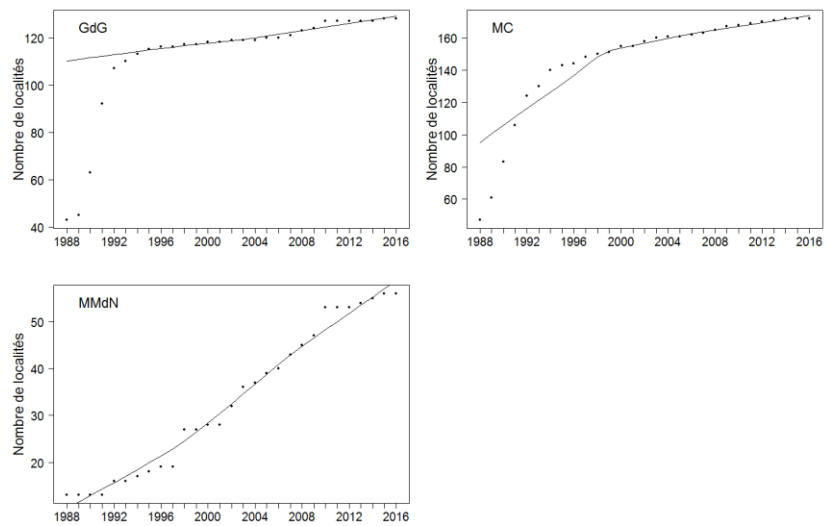


Figure 1. 9 : Évolution du nombre total de localités connues pour le Goéland brun au cours du temps

GdG : Golf de Gascogne ; MC : Mer Celtique ; MMdN : Manche – Mer du Nord ; MED

Goéland railleur

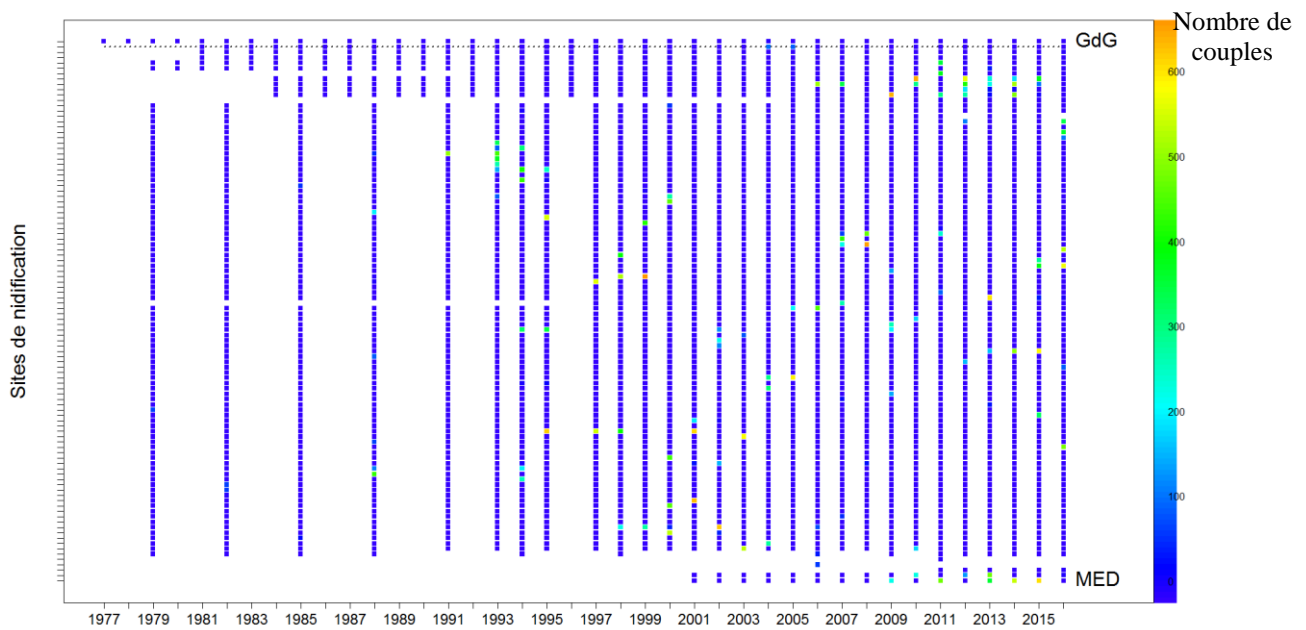


Figure 1. 10 : Représentation graphique des séries de comptage du Goéland railleur obtenues après reconstitution des valeurs manquantes

GdG : Golf de Gascogne ; MED : Méditerranée

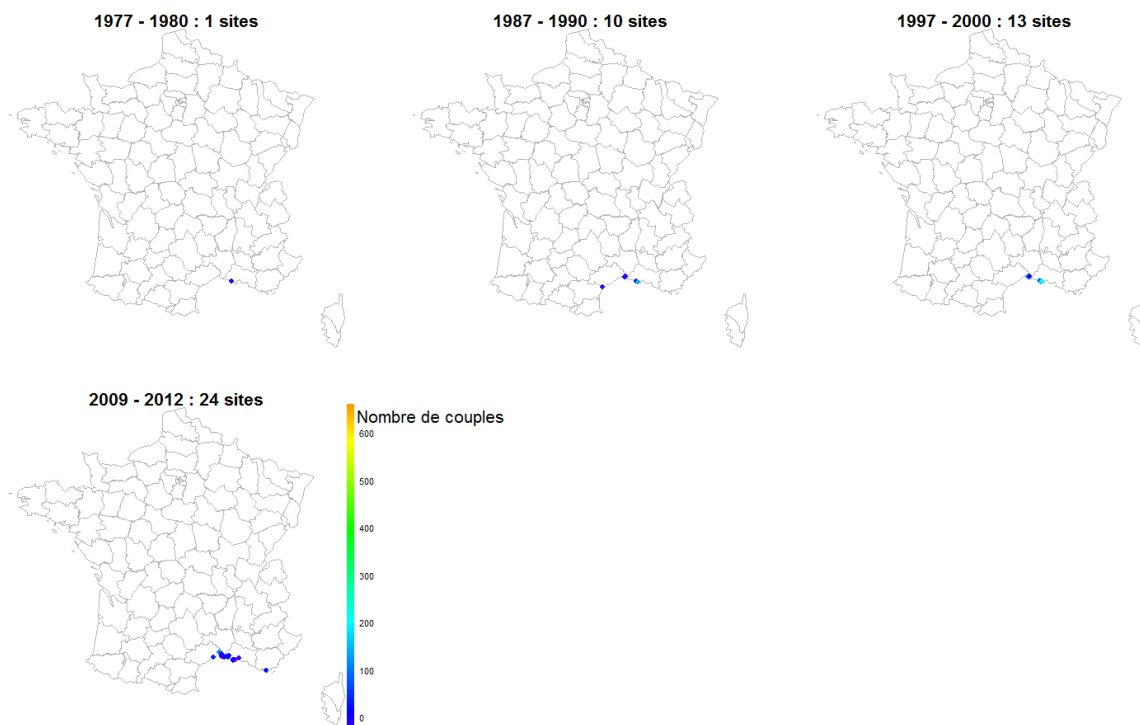


Figure 1. 11 : Répartition du Goéland railleur selon les données des recensements décennaux

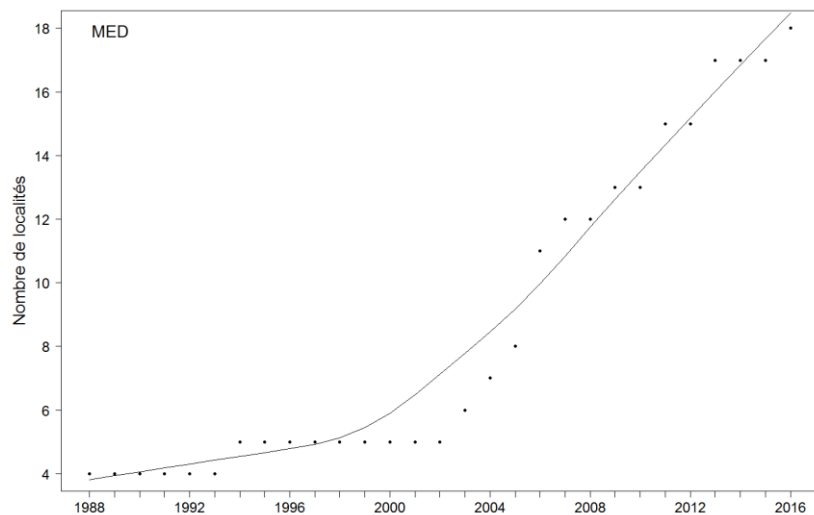


Figure 1. 12 : Évolution du nombre total de localités connues pour le Goéland railleur au cours du temps

GdG : Golf de Gascogne ; MED : Méditerranée

Goéland leucophée

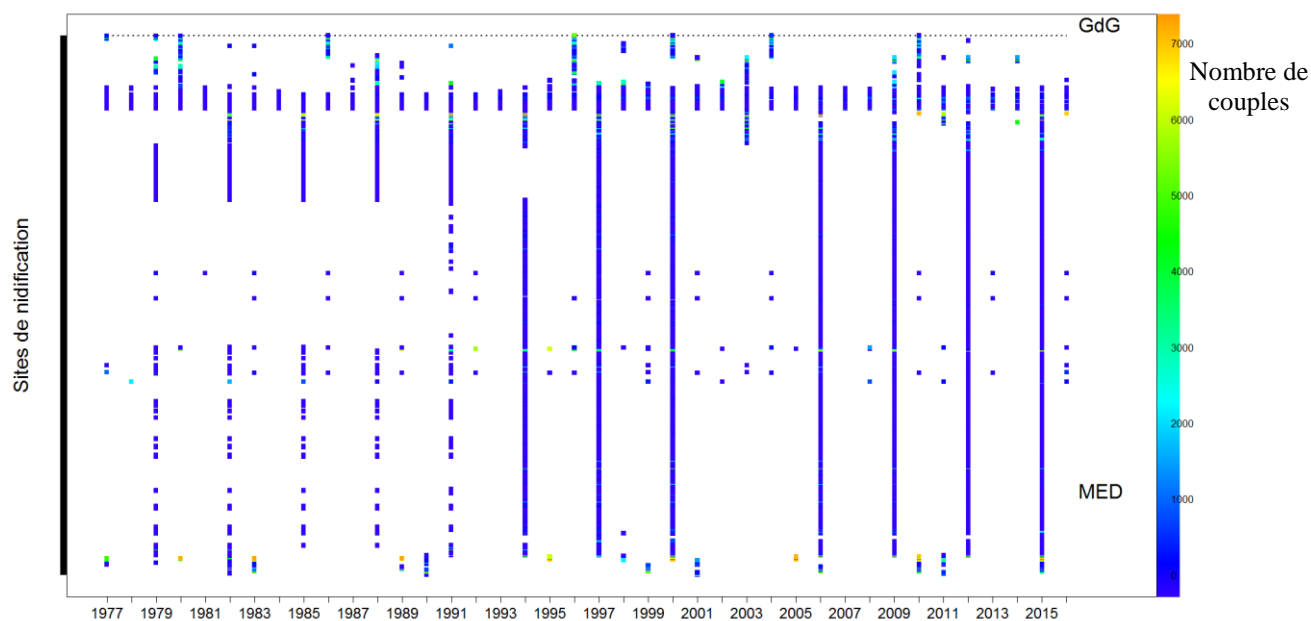


Figure 1.13 : Représentation graphique des séries de comptage du Goéland leucophée obtenues après reconstitution des valeurs manquantes

GdG : Golf de Gascogne ; MED : Méditerranée

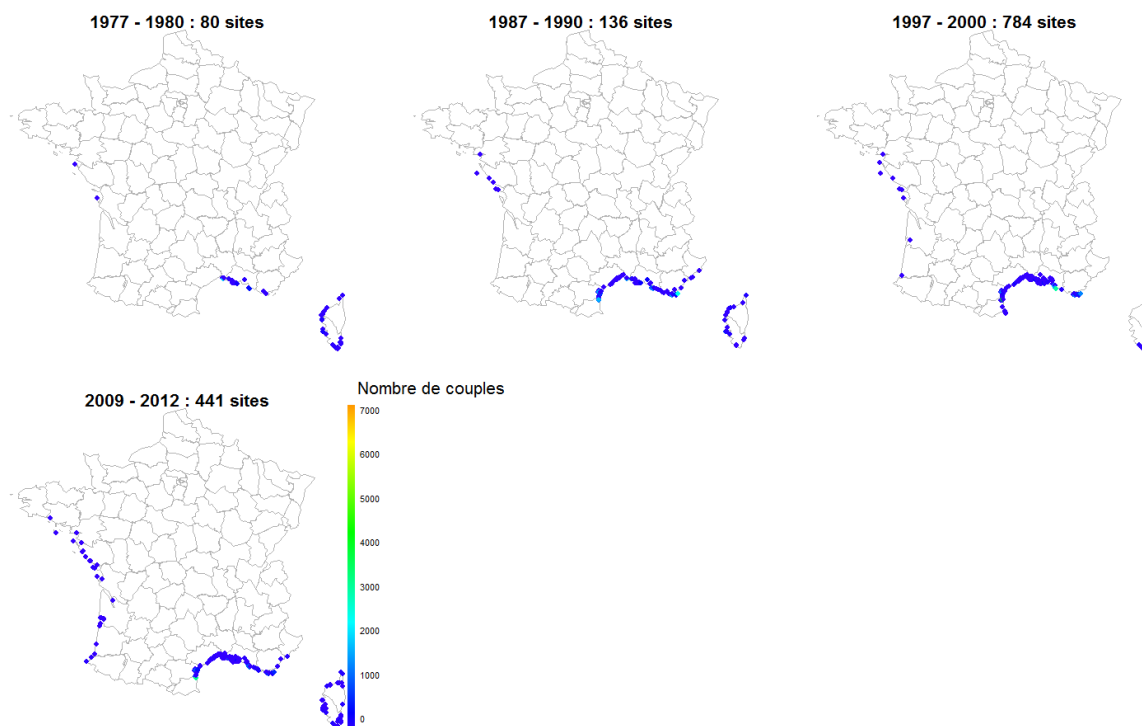


Figure 1.14 : Répartition du Goéland leucophée selon les données des recensements décennaux

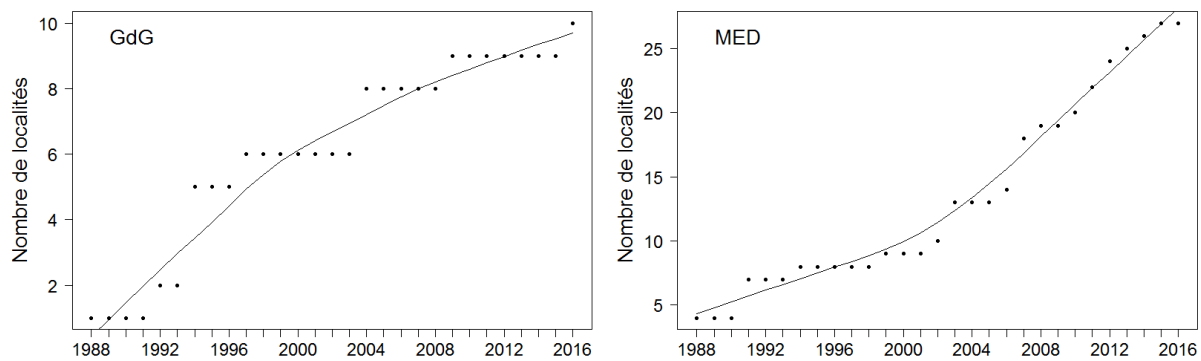


Figure 1. 15 : Évolution du nombre total de localités connues pour le Goéland leucophée au cours du temps

GdG : Golf de Gascogne ; MED : Méditerranée

Mouette mélanocéphale

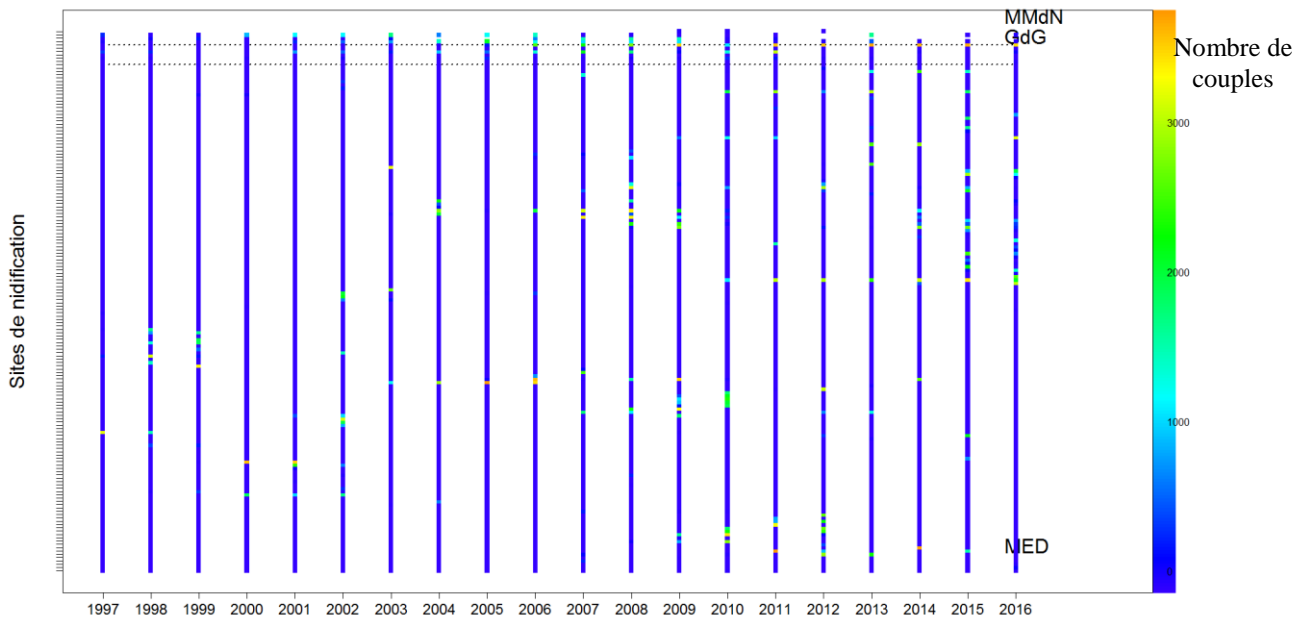


Figure 1. 16 : Représentation graphiques des séries de comptage de la Mouette mélanocéphale obtenues après reconstitution des valeurs manquantes

GdG : Golf de Gascogne ; MMdN : Manche – Mer du Nord ; MED : Méditerranée

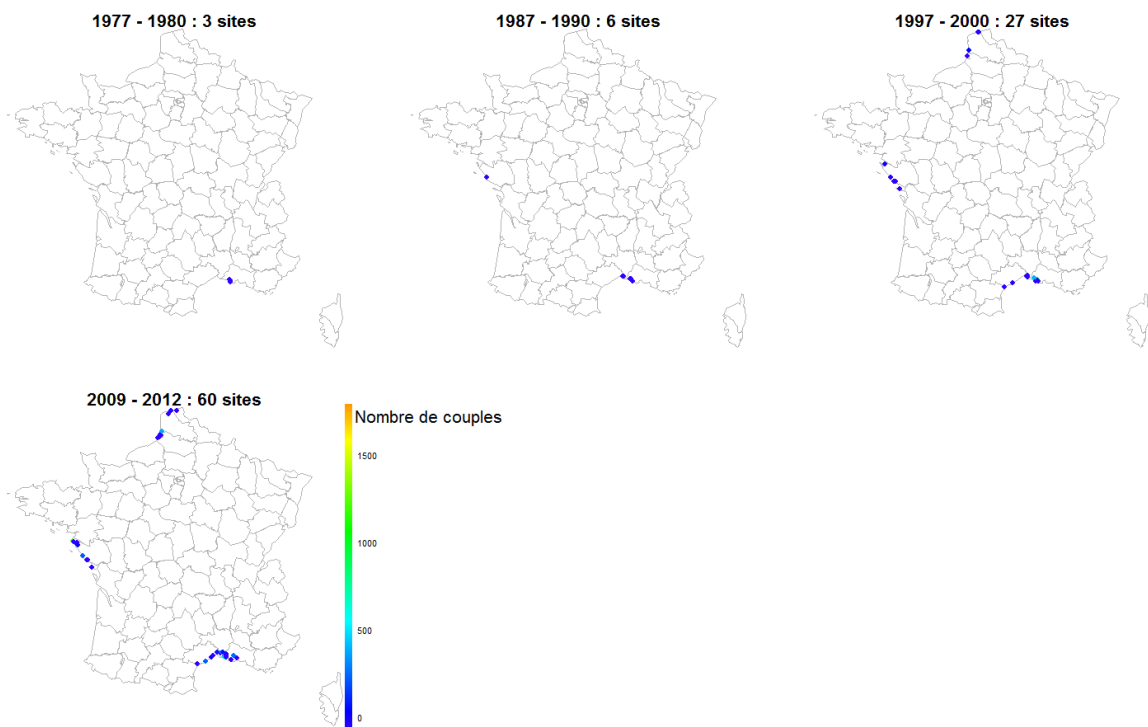


Figure 1. 17 : Répartition de la Mouette mélanocéphale selon les données des recensements décennaux

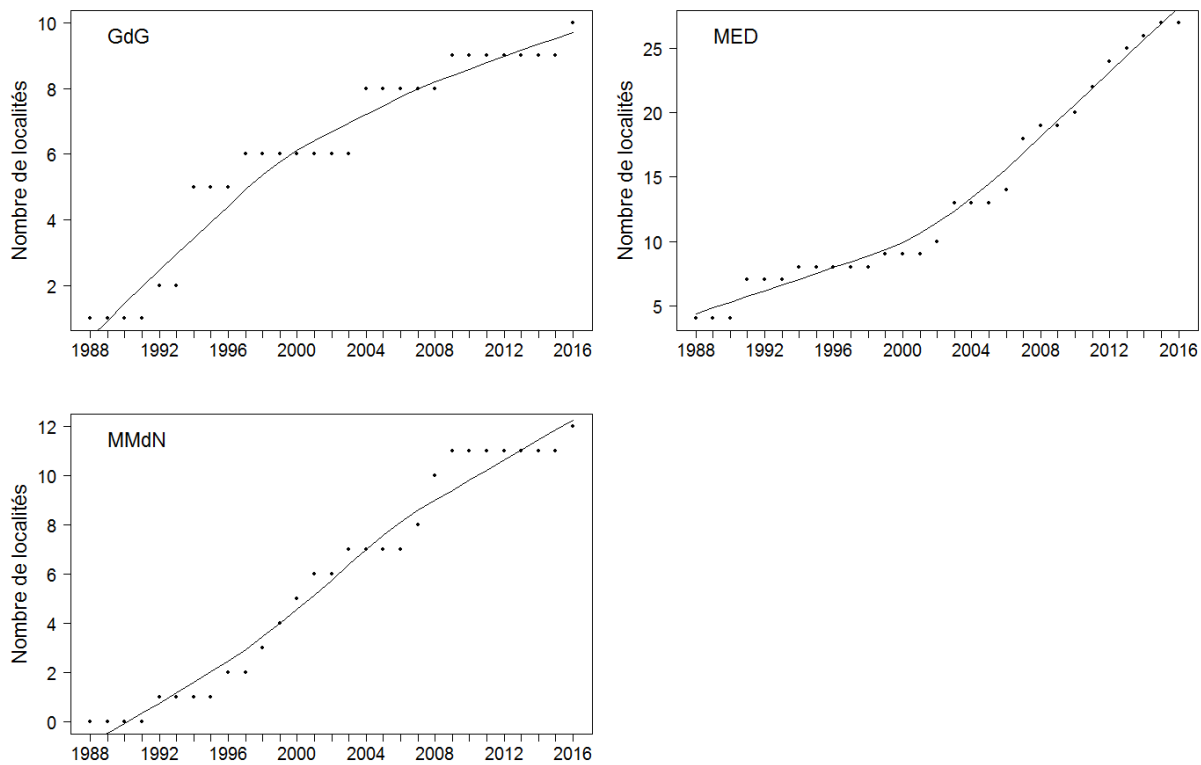


Figure 1. 18 : Évolution du nombre total de localités connues pour la Mouette mélanocéphale au cours du temps

GdG : Golf de Gascogne ; MMdN : Manche – Mer du Nord ; MED : Méditerranée

Mouette tridactyle

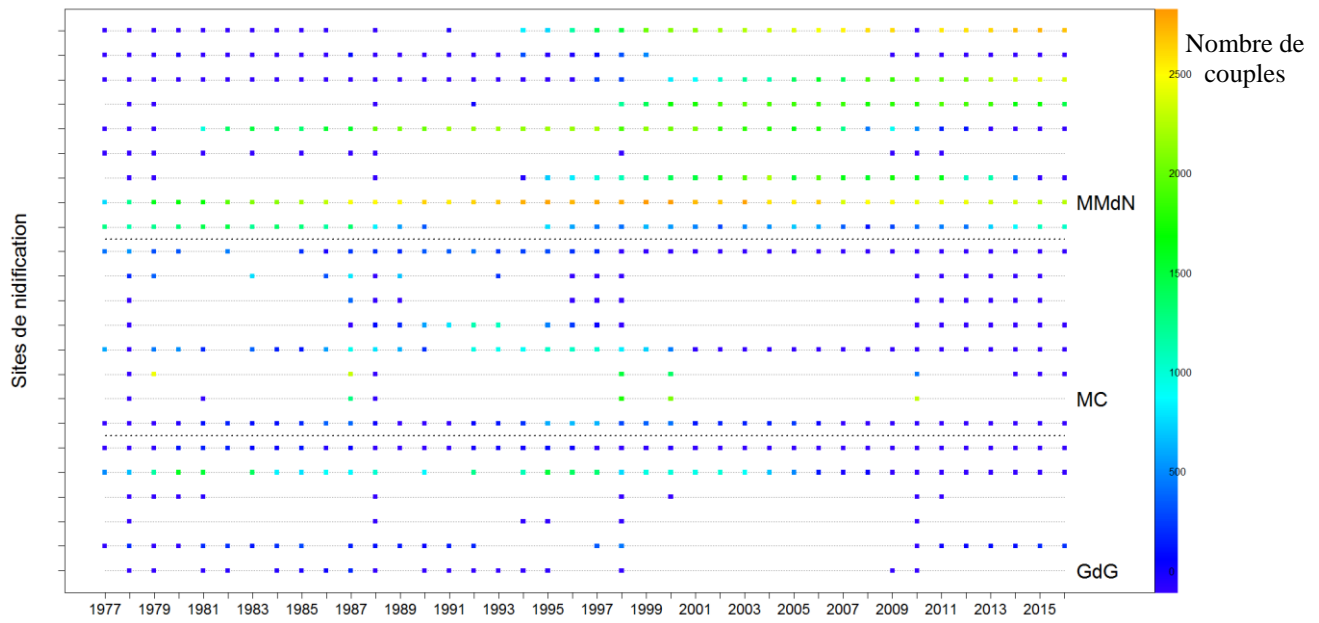
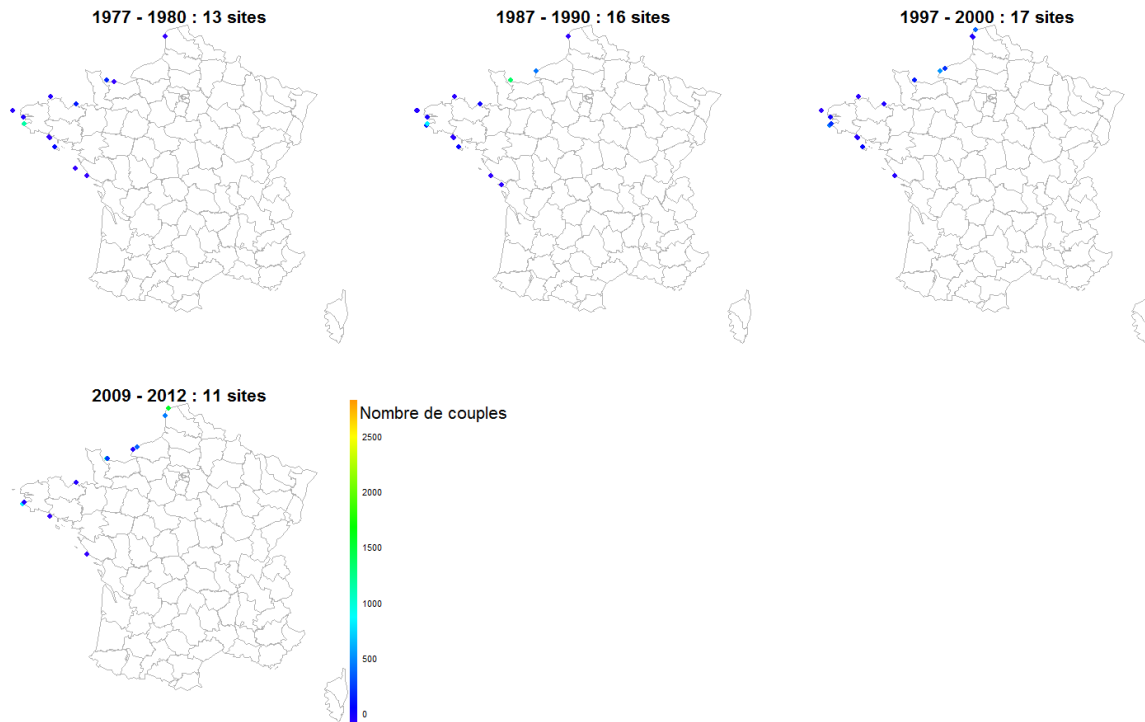


Figure 1. 19 : Représentation graphique des séries de comptage de la Mouette tridactyle obtenues après reconstitution des valeurs manquantes

GdG : Golf de Gascogne ; MC : Mer Celtique ; MMdN : Manche – Mer du Nord



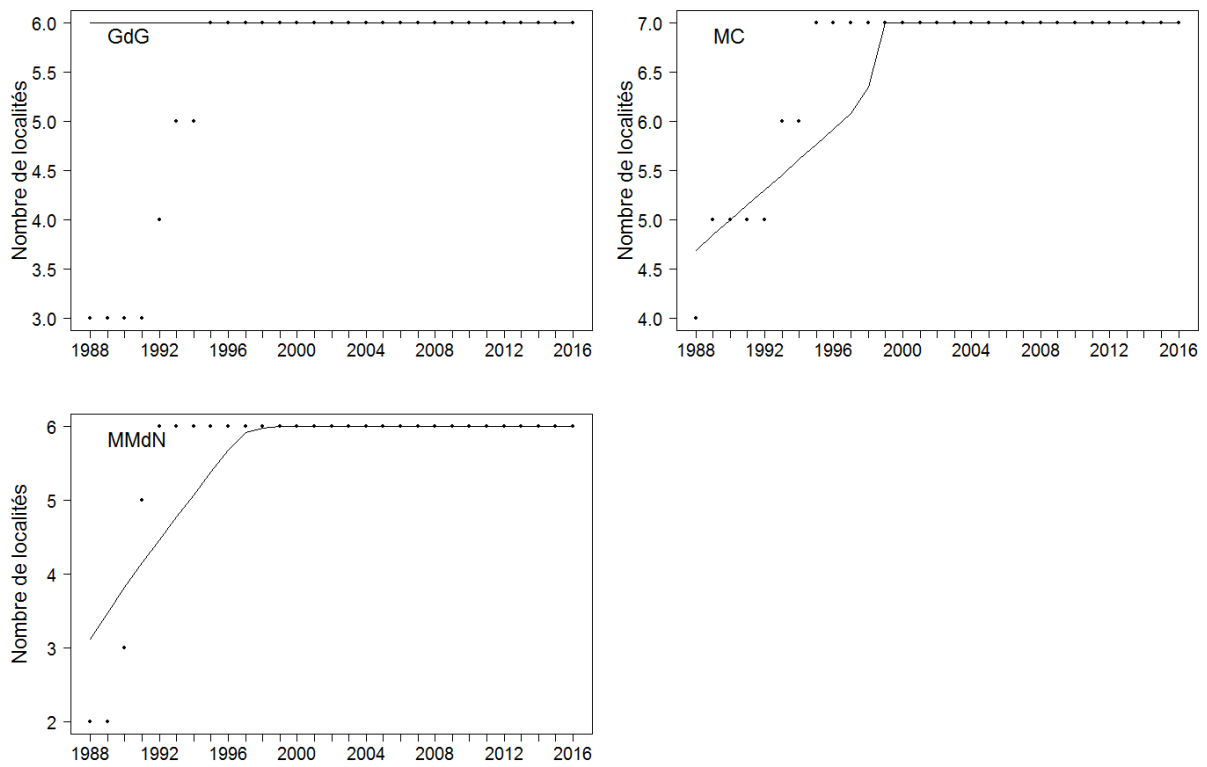


Figure 1. 20 : Répartition de la Mouette tridactyle selon les données des recensements décennaux

Figure 1. 21 : Évolution du nombre total de localités connues pour la Mouette tridactyle au cours du temps

GdG : Golf de Gascogne ; MC : Mer Celtique ; MMdN : Manche – Mer du Nord

Sterne pierregarin

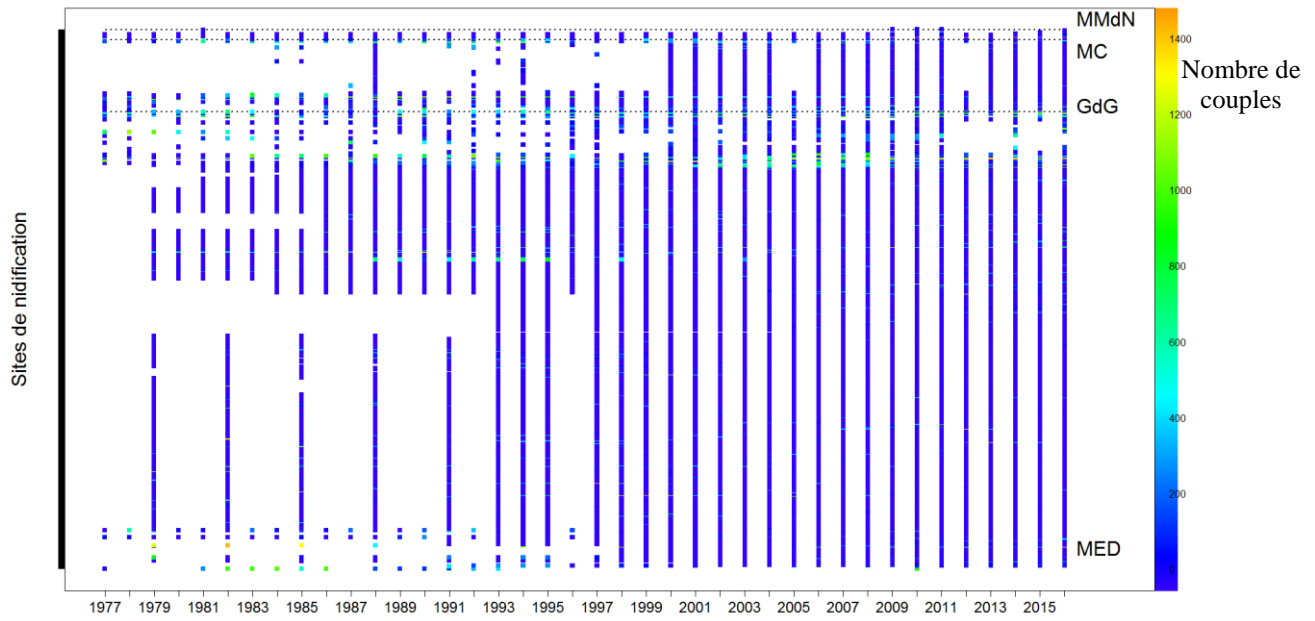
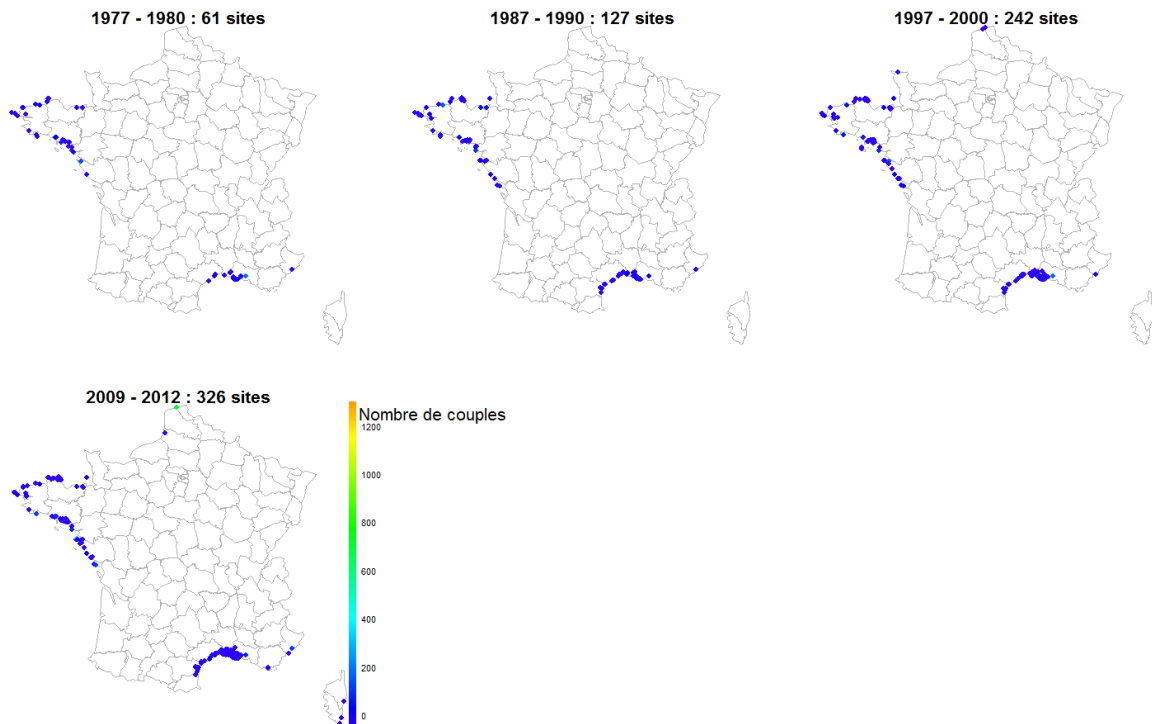


Figure 1. 22 : Représentation graphique des séries de comptage de la Sterne pierregarin obtenues après reconstitution des valeurs manquantes

GdG : Golf de Gascogne ; MC : Mer Celtique ; MMdN : Manche – Mer du Nord ; MED : Méditerranée



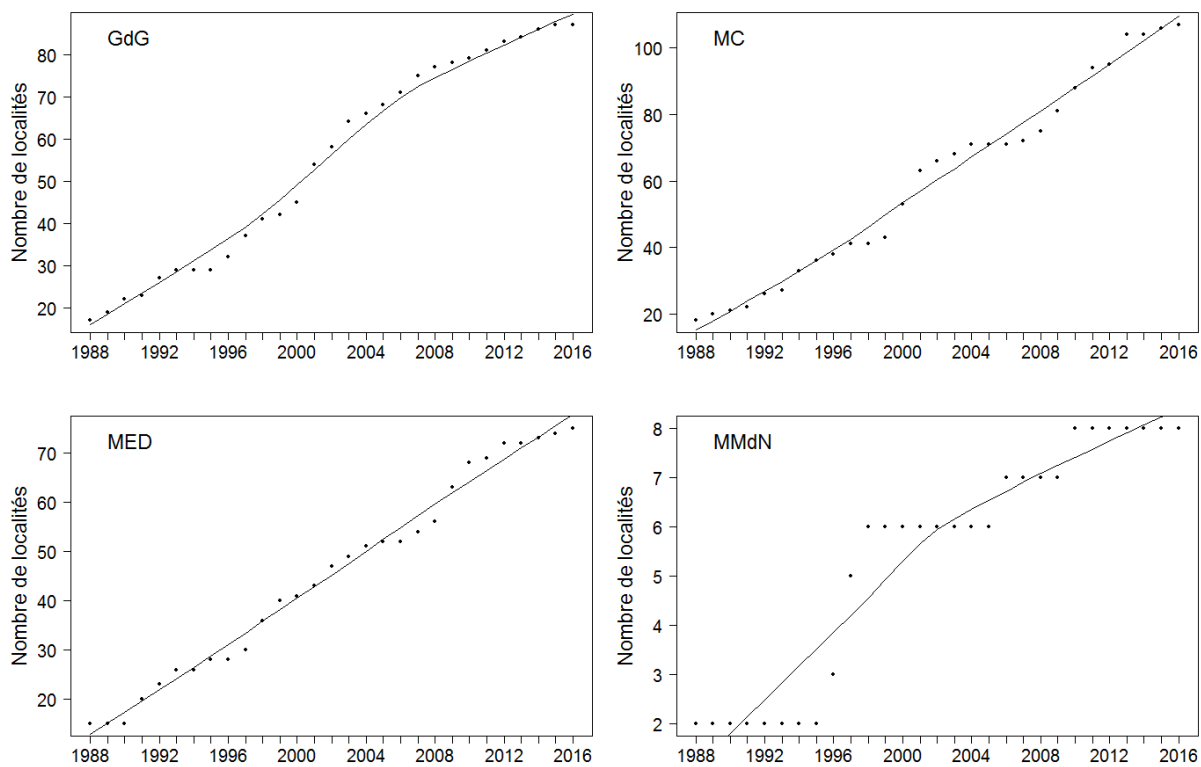


Figure 1. 23 : Répartition de la Sterne pierregarin selon les données des recensements décennaux

Figure 1. 24 : Évolution du nombre total de localités connues pour la Sterne pierregarin au cours du temps

GdG : Golf de Gascogne ; MC : Mer Celtique ; MMdN : Manche – Mer du Nord ; MED : Méditerranée

Sterne caugek

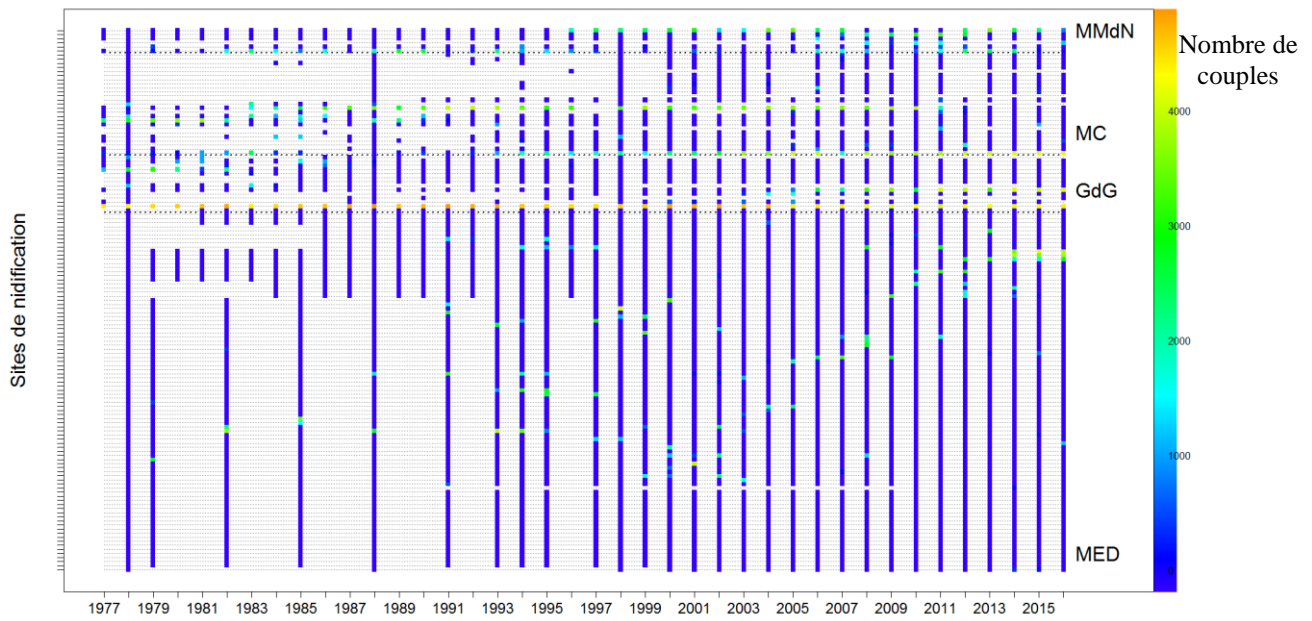


Figure 1. 25 : Représentation graphiques des séries de comptage de la Sterne caugek obtenues après reconstitution des valeurs manquantes

GdG : Golf de Gascogne ; MC : Mer Celtique ; MMdN : Manche – Mer du Nord ; MED : Méditerranée

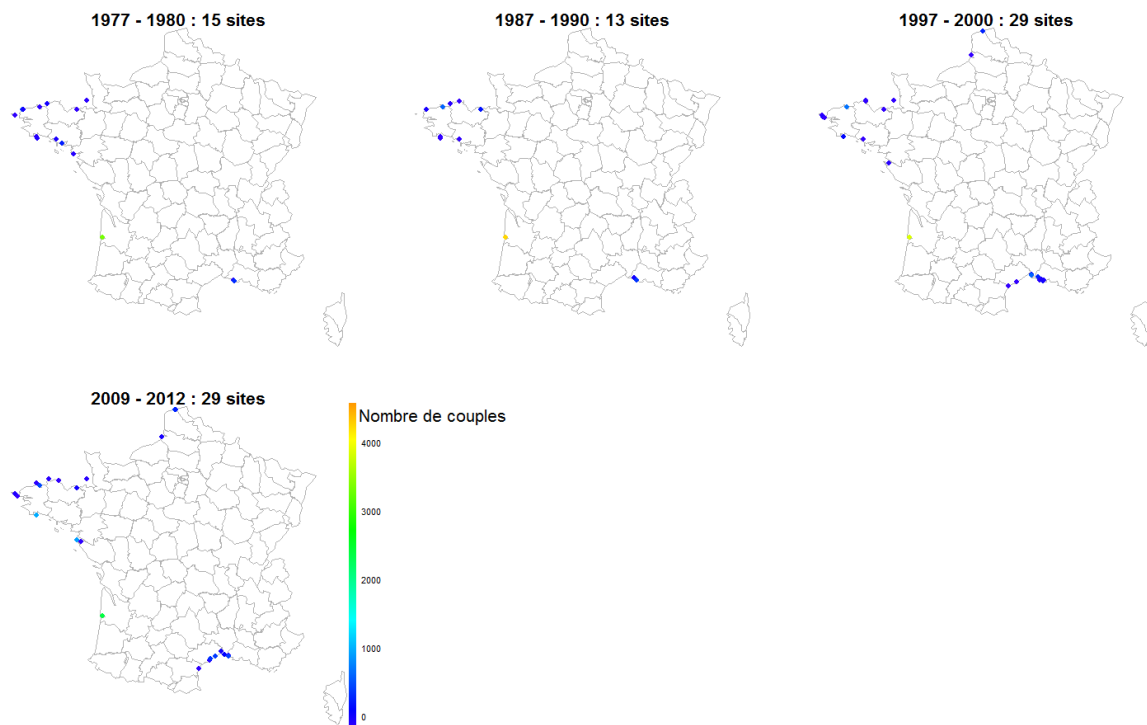


Figure 1. 26 : Répartition de la Sterne caugek selon les données des recensements décennaux

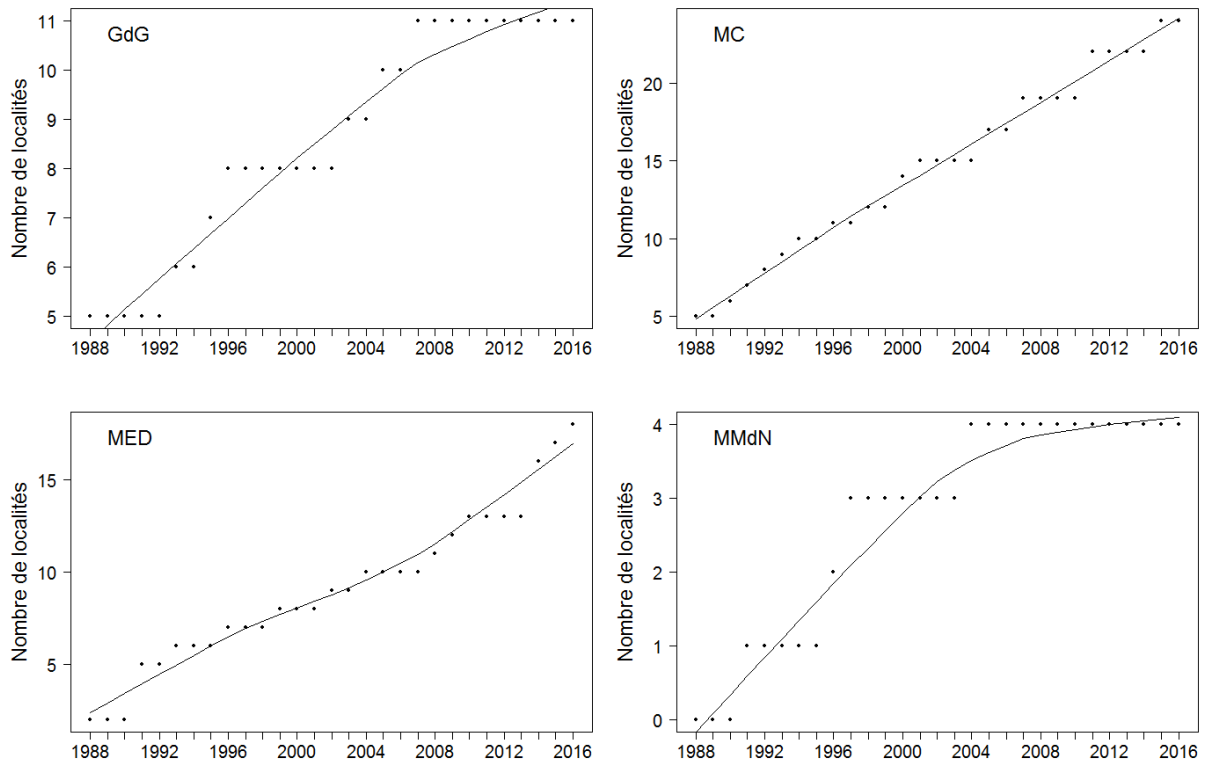


Figure 1. 27 : Évolution du nombre total de localités connues pour la Sterne caugek au cours du temps

GdG : Golf de Gascogne ; MC : Mer Celtique ; MMdN : Manche – Mer du Nord ; MED : Méditerranée

Océanite tempête

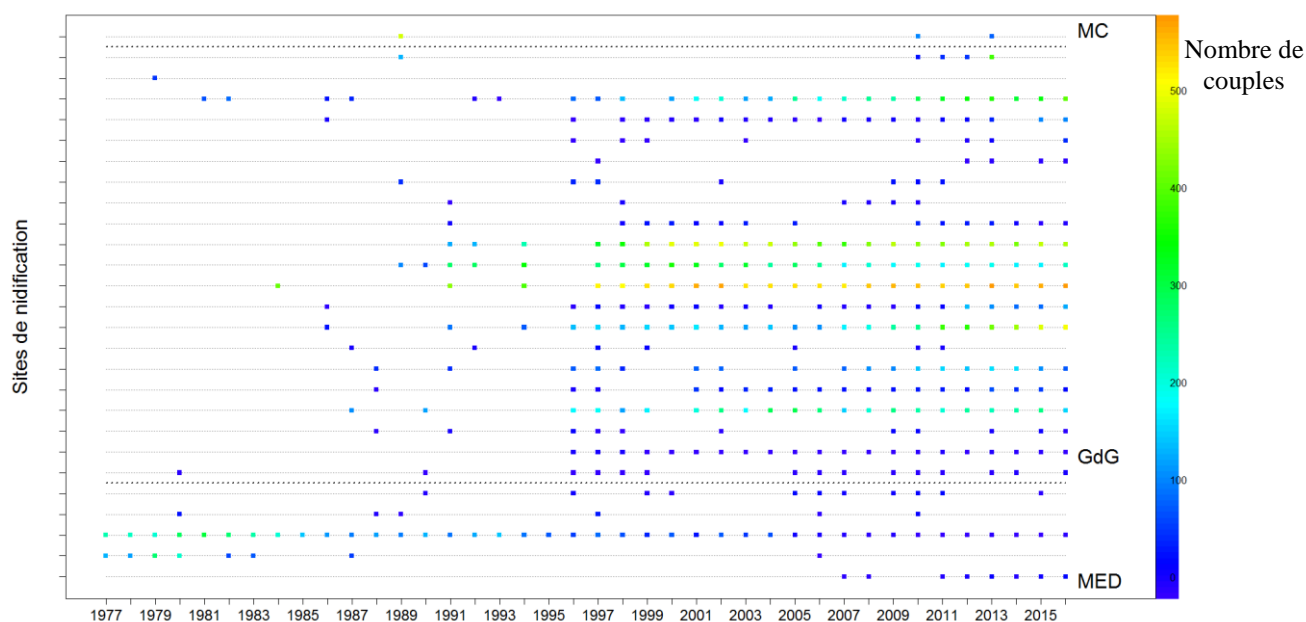


Figure 1.28 : Représentation graphique des séries de comptage de l'Océanite tempête obtenues après reconstitution des valeurs manquantes

GdG : Golf de Gascogne ; MC : Mer Celtique ; MED : Méditerranée

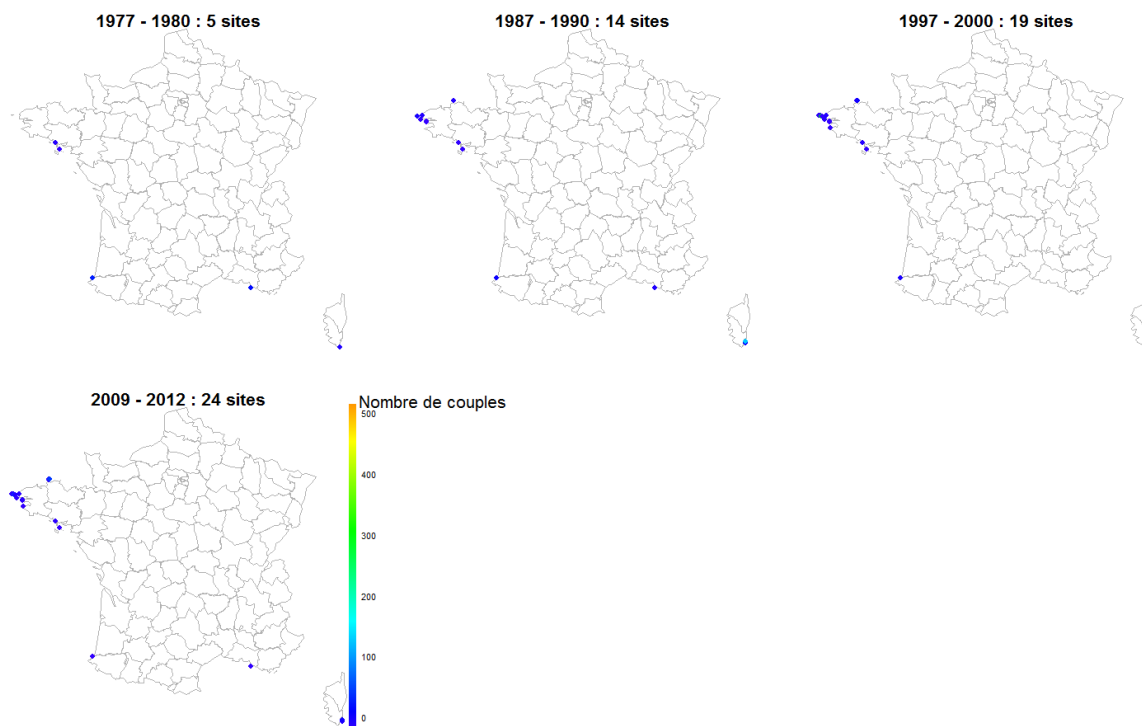


Figure 1.29 : Répartition de l'Océanite tempête selon les données des recensements décennaux

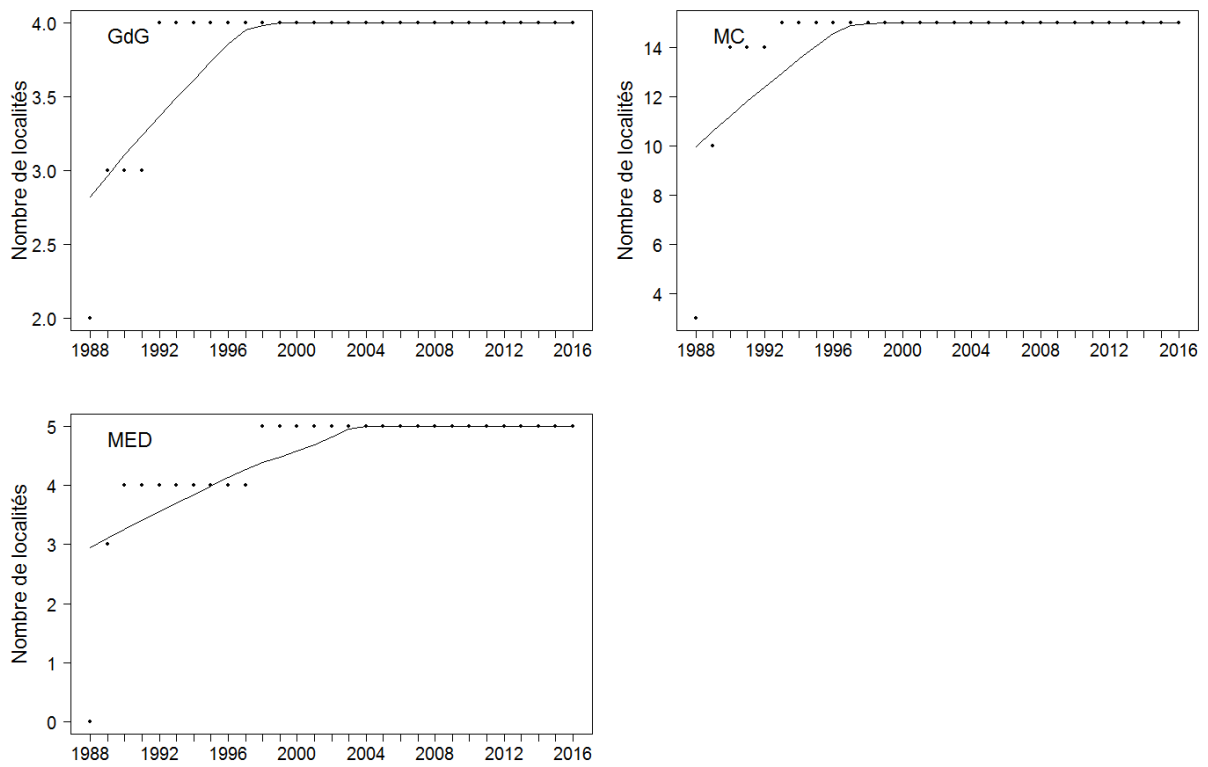


Figure 1. 30 : Évolution du nombre total de localités connues pour l'Océanite tempête au cours du temps

GdG : Golf de Gascogne ; MC : Mer Celtique ; MED : Méditerranée

Fulmar boréal

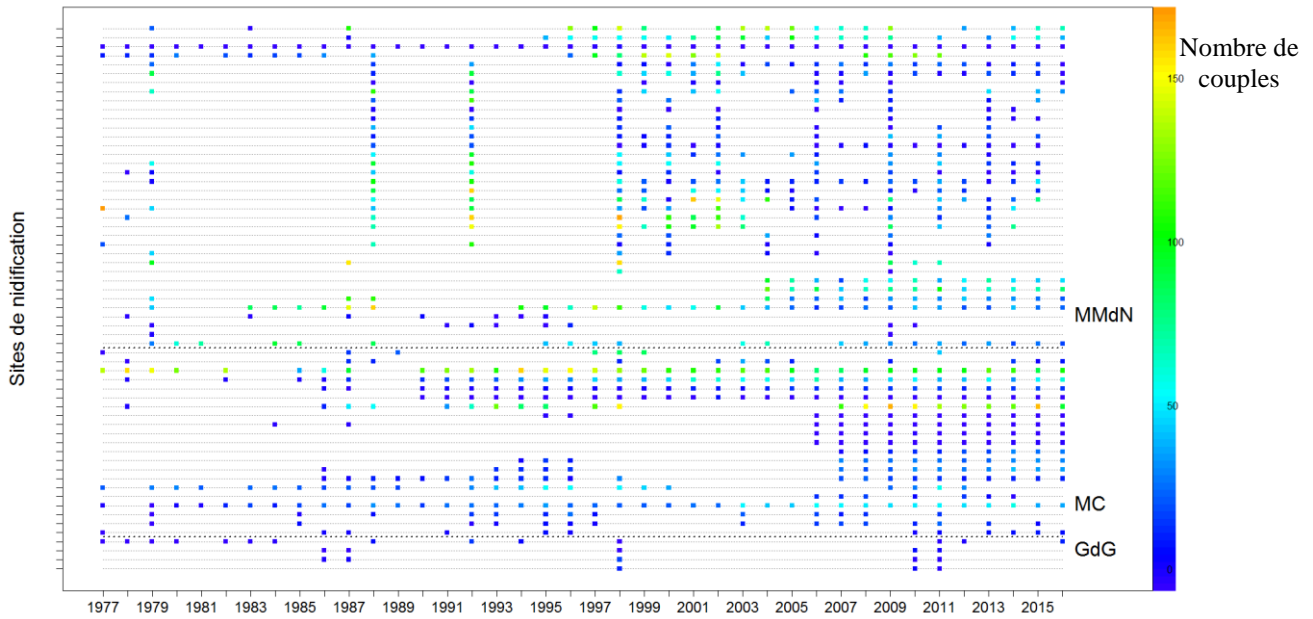


Figure 1. 31 : Représentation graphiques des séries de comptage du Fulmar boréal obtenues après reconstitution des valeurs manquantes

GdG : Golf de Gascogne ; MC : Mer Celtique ; MMdN : Manche – Mer du Nord

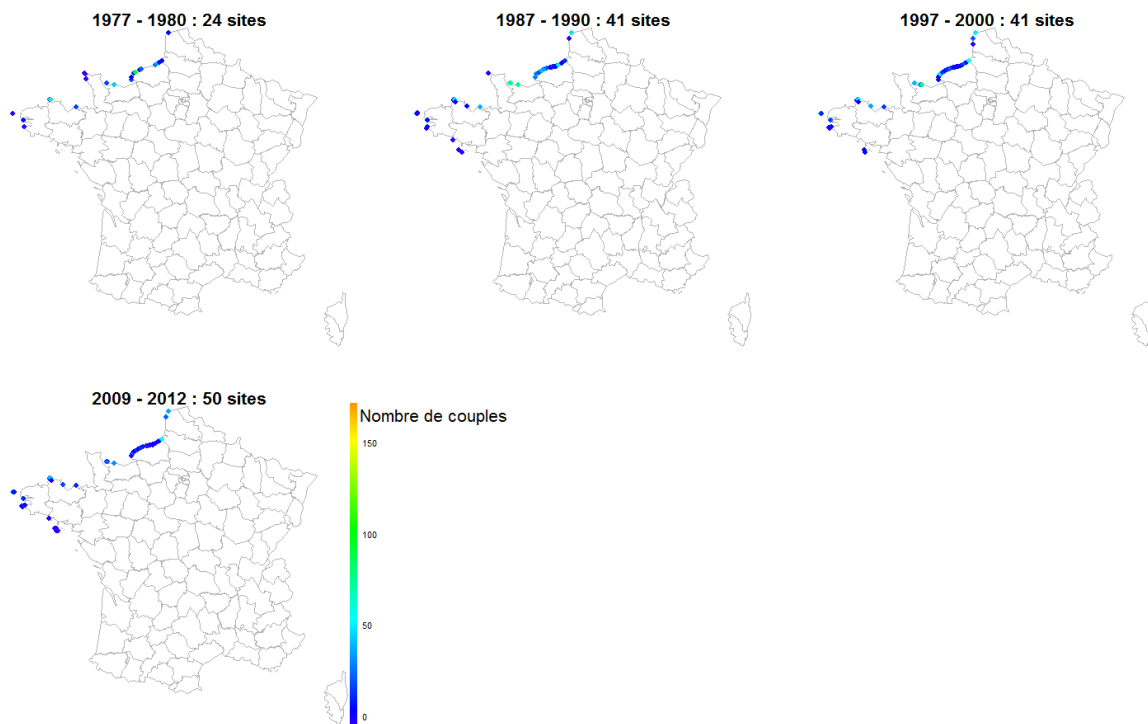


Figure 1. 32 : Répartition du Fulmar boréal selon les données des recensements décennaux

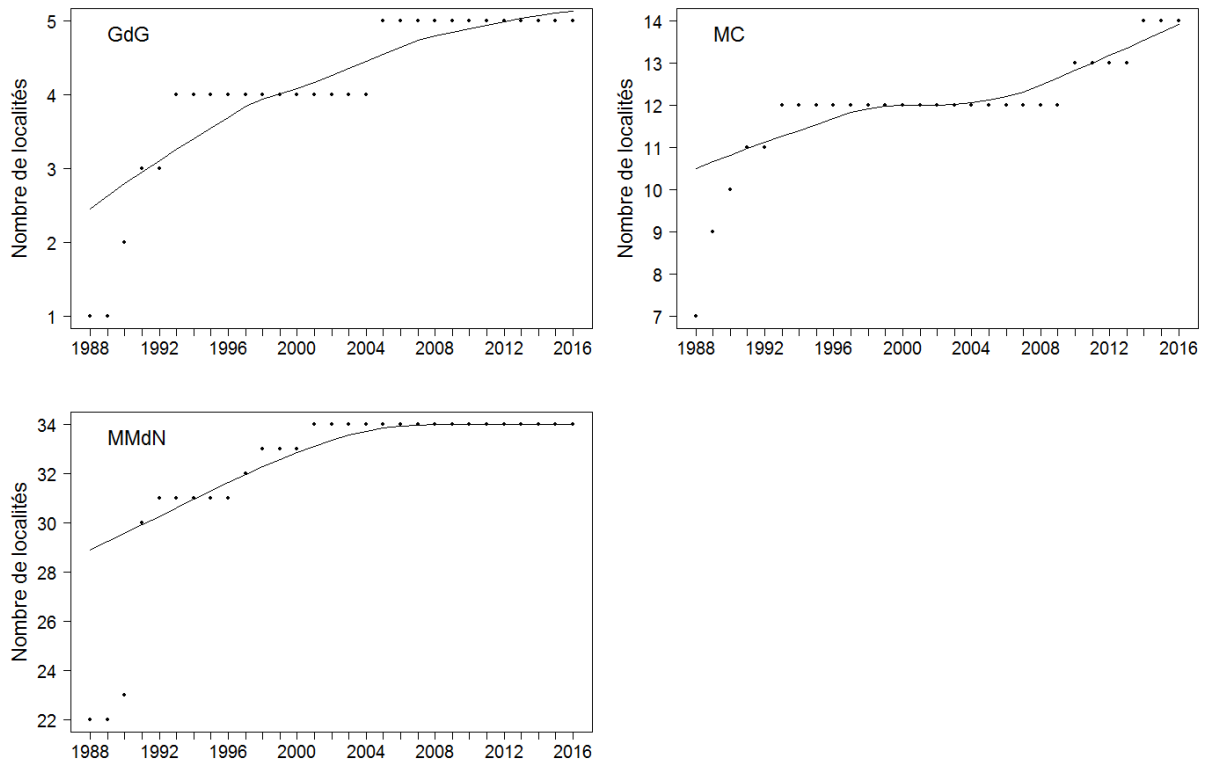


Figure 1. 33 : Évolution du nombre total de localités connues pour le Fulmar boréal au cours du temps

GdG : Golf de Gascogne ; MC : Mer Celtique ; MMdN : Manche – Mer du Nord

Puffin des Anglais

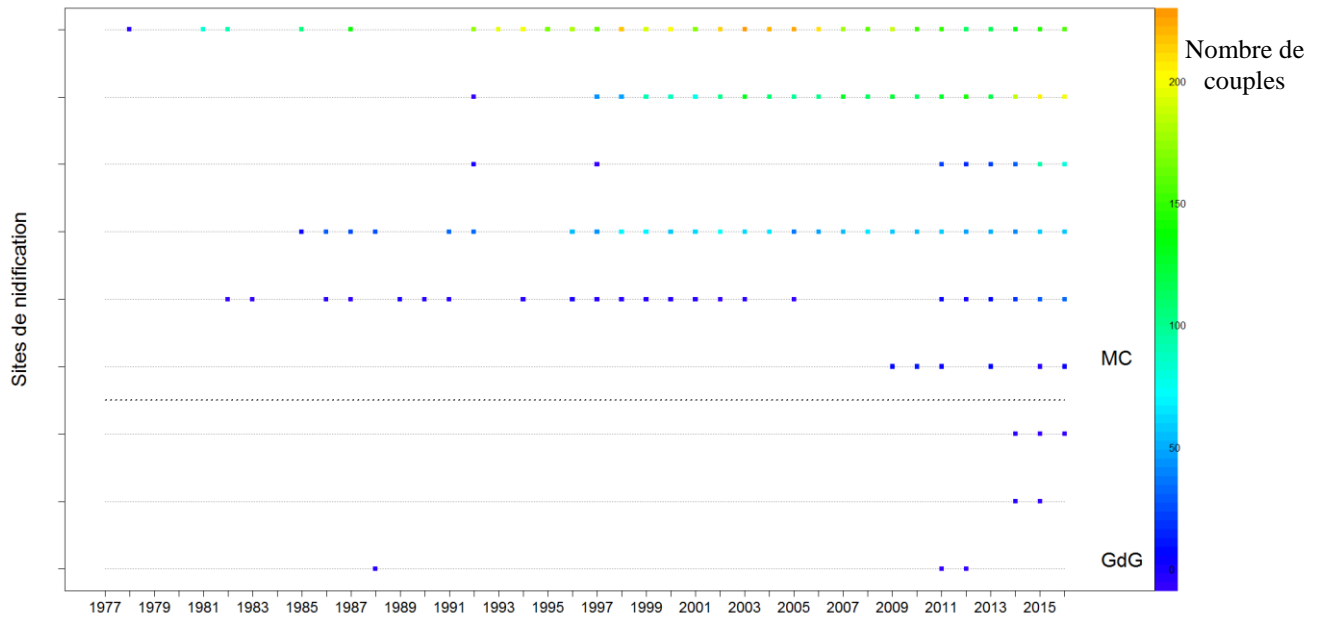


Figure 1. 34 : Représentation graphique des séries de comptage du Puffin des Anglais obtenues après reconstitution des valeurs manquantes

GdG : Golf de Gascogne ; MC : Mer Celtique

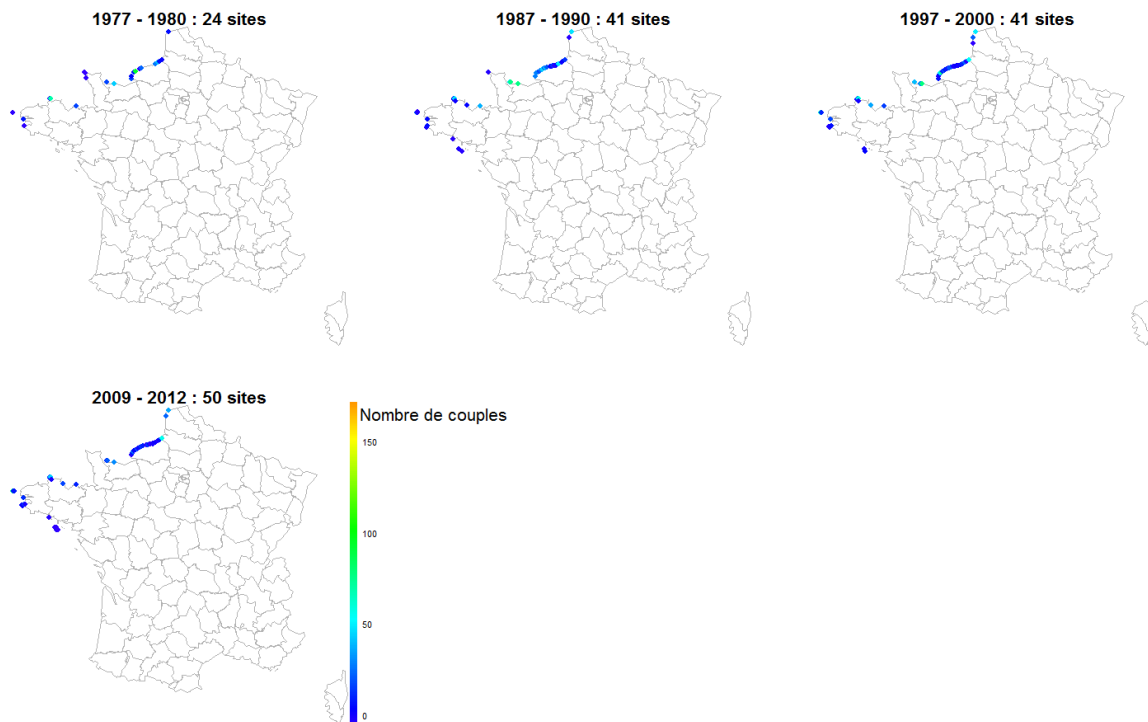


Figure 1. 35 : Répartition du Puffin des Anglais selon les données des recensements décennaux

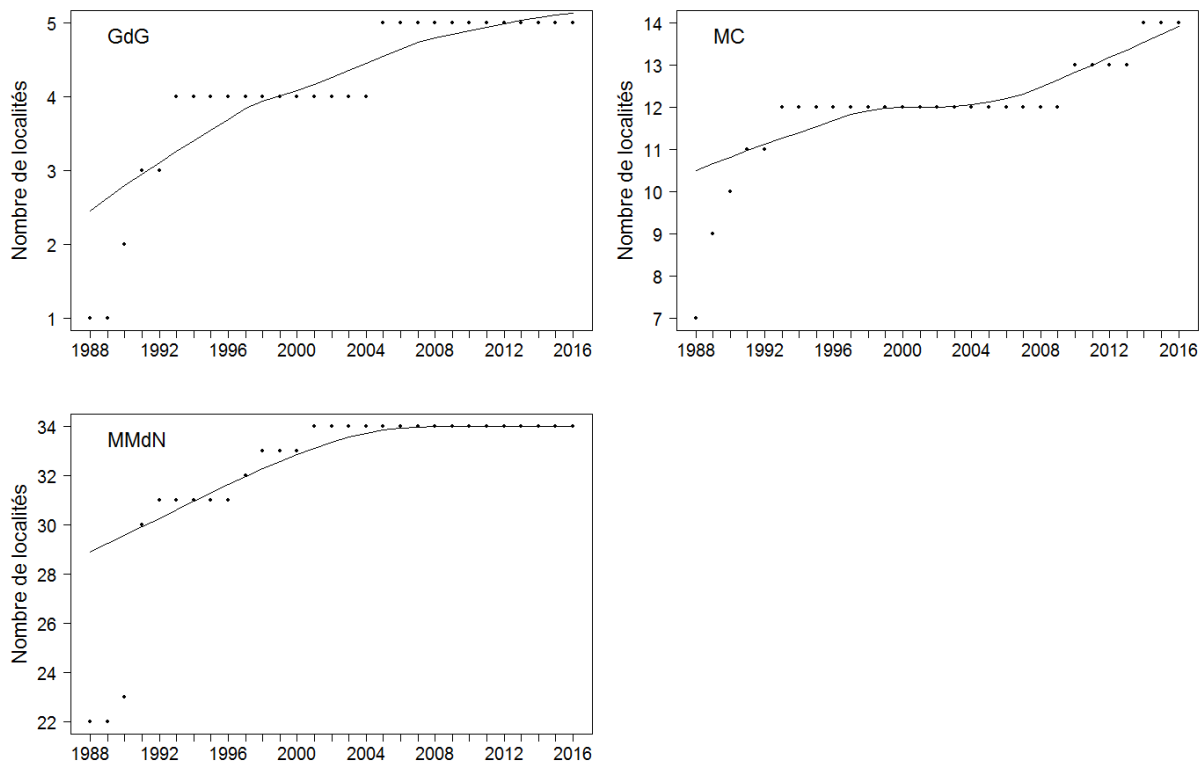


Figure 1. 36 : Évolution du nombre total de localités connues pour le Puffin des Anglais au cours du temps

GdG : Golf de Gascogne ; MC : Mer Celtique

Grand cormoran

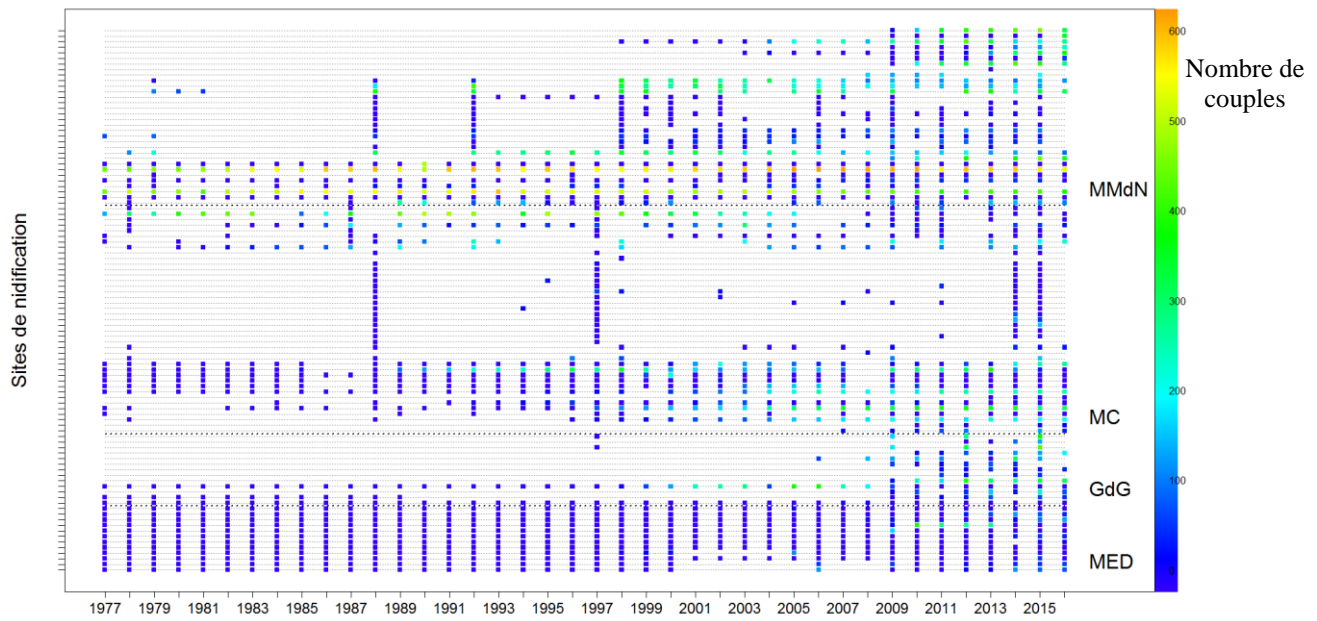


Figure 1.37 : Représentation graphique des séries de comptage du Grand cormoran obtenues après reconstitution des valeurs manquantes

GdG : Golf de Gascogne ; MC : Mer Celtique ; MMdN : Manche – Mer du Nord ; MED : Méditerranée

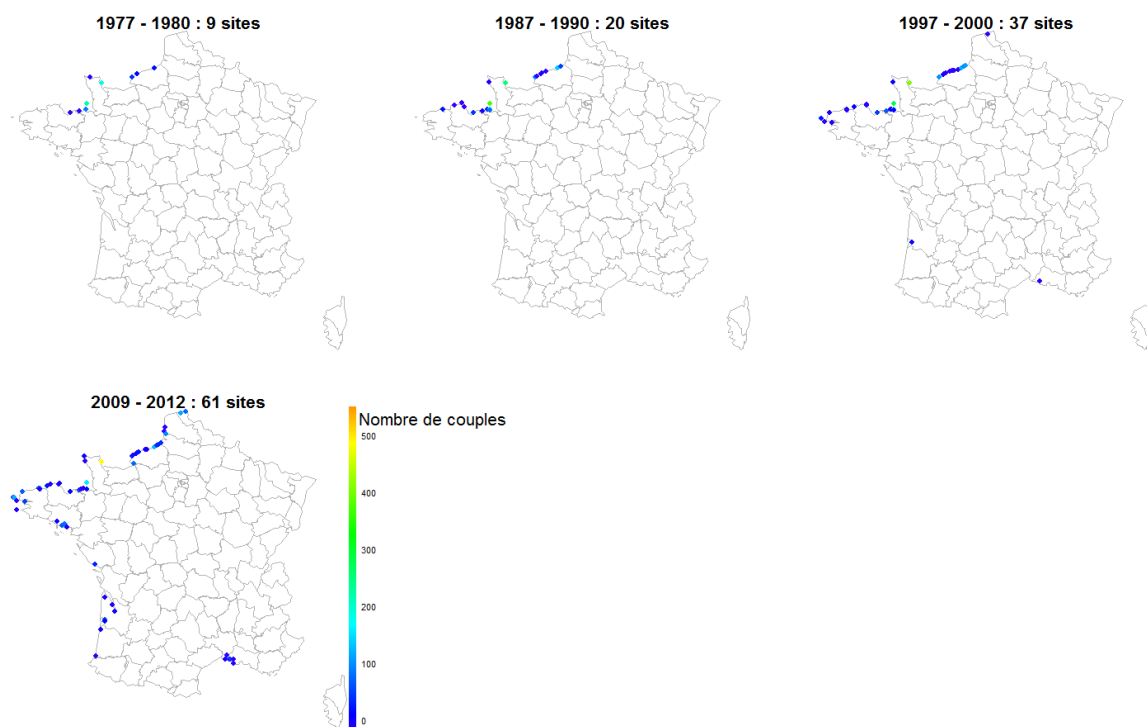


Figure 1.38 : Répartition du Grand cormoran selon les données des recensements décennaux

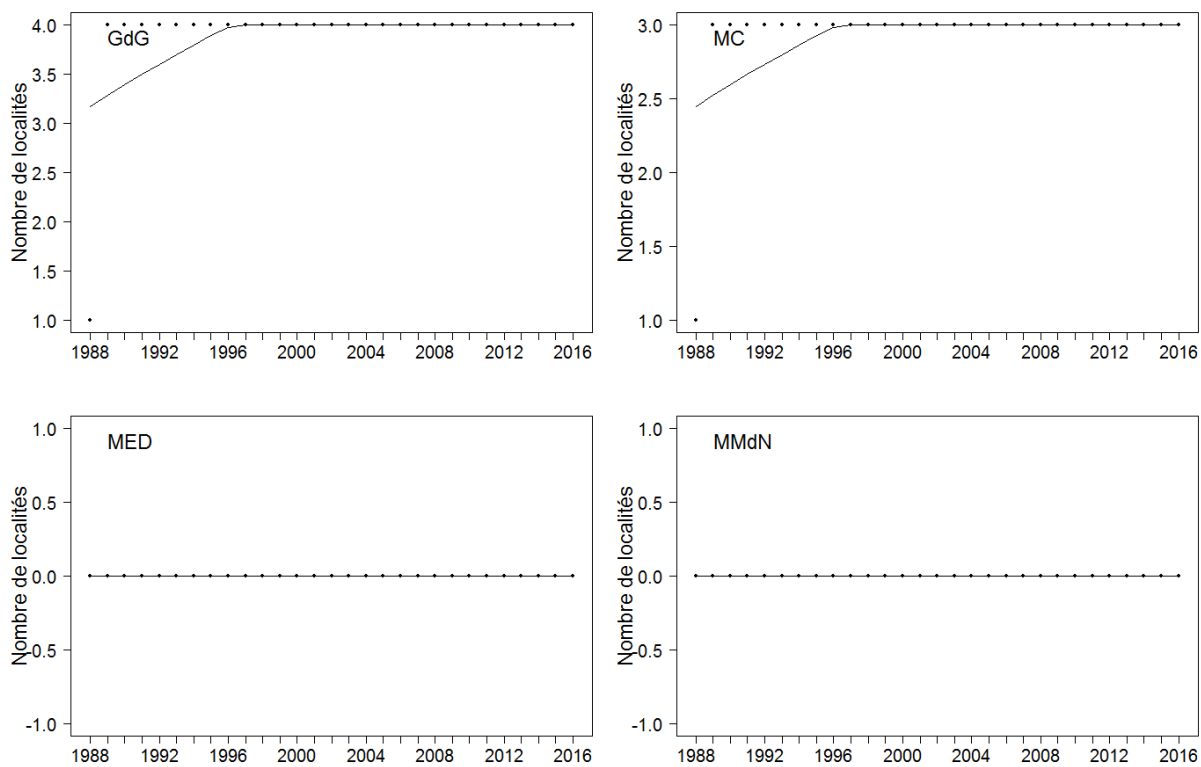


Figure 1. 39 : Évolution du nombre total de localités connues pour le Grand cormoran au cours du temps

GdG : Golf de Gascogne ; MC : Mer Celtique ; MMdN : Manche – Mer du Nord ; MED : Méditerranée

Fou de Bassan

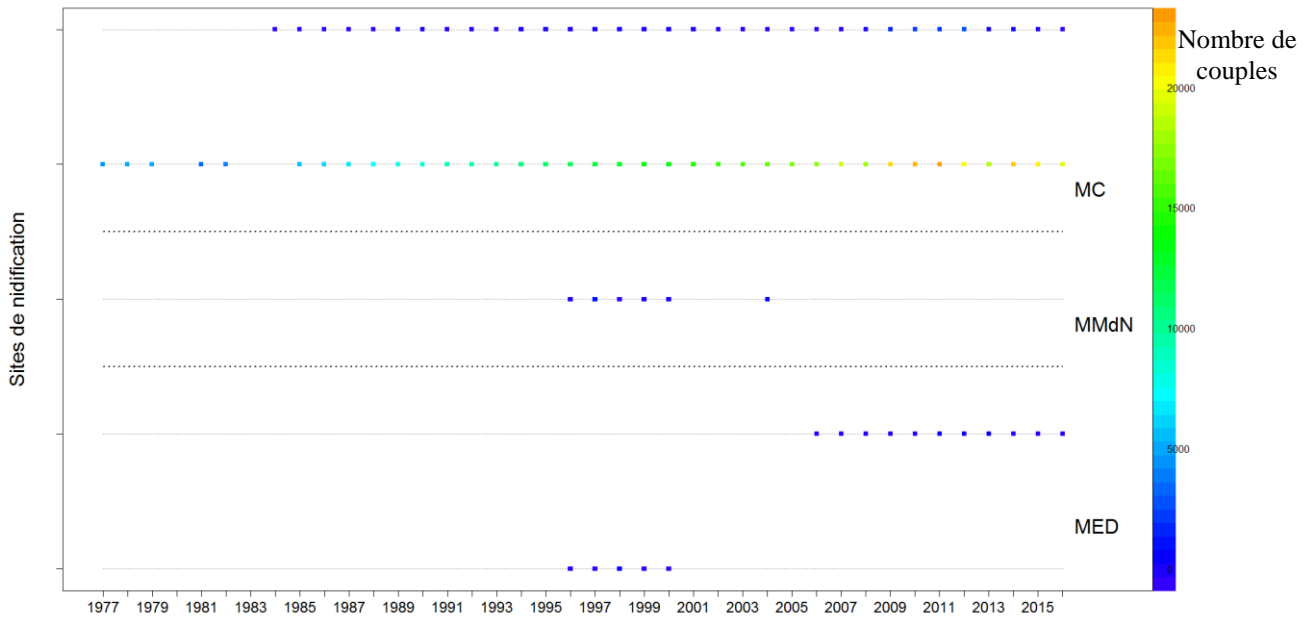


Figure 1. 40 : Représentation graphiques des séries de comptage du Fou de Bassan obtenues après reconstitution des valeurs manquantes

MC : Mer Celtique ; MMdN : Manche – Mer du Nord ; MED : Méditerranée

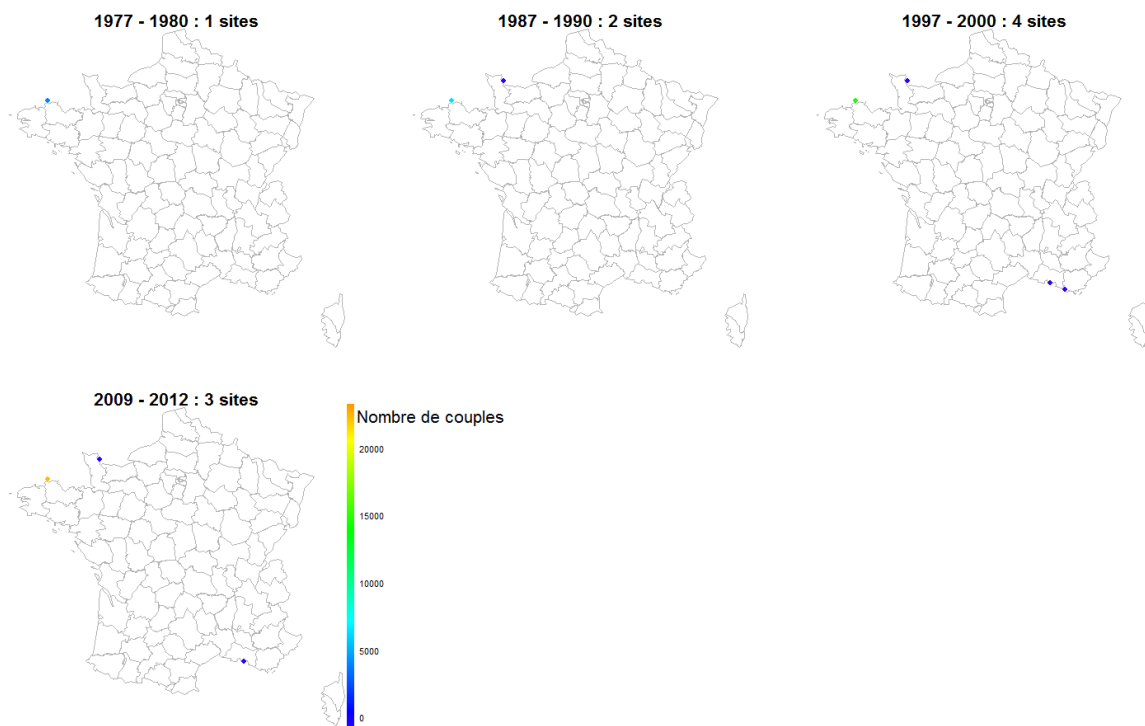


Figure 1. 41 : Répartition du Fou de Bassan selon les données des recensements décennaux

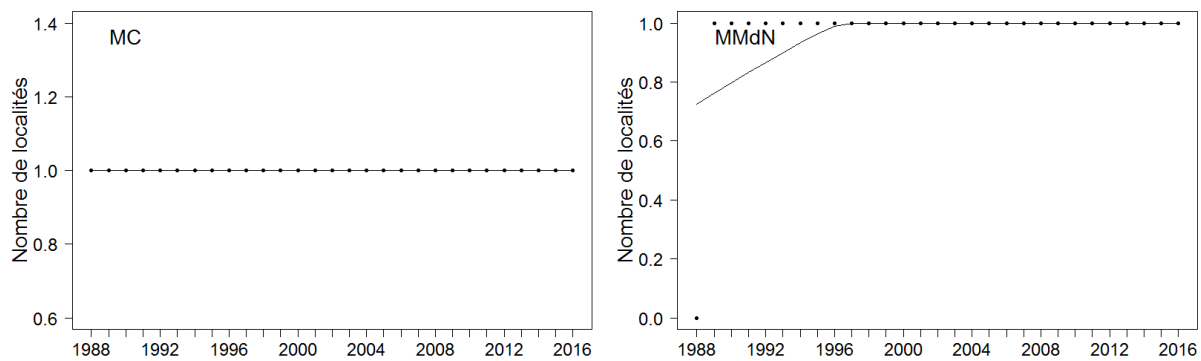


Figure 1. 42 : Évolution du nombre total de localités connues pour le Fou de Bassan au cours du temps

MC : Mer Celtique ; MMdN : Manche – Mer du Nord ; MED : Méditerranée